

บทที่ 2

เอกสารและงานวิจัยที่เกี่ยวข้อง

ความหมายของโลหะหนัก

โลหะหนัก หมายถึง ธาตุที่มีความถ่วงจำเพาะตั้งแต่ 5 ชั้นไปแล้วมีเลขอะตอม 23-92 อยู่ในคาบที่ 4-7 ตัวอย่างเช่น แแคดเมียม สังกะสี นิกเกิล โคโรเนียม เหล็ก แมงกานีส ฯลฯ โลหะหนักถือว่าเป็นโลหะบริมานน้อย (trace metals) ซึ่งส่วนมากจะอยู่ในกลุ่มทранสิชัน (transition elements) นอกจากนี้ยังมีธาตุอื่น ๆ ที่อยู่ในกลุ่มของธาตุรีเพรสเซ็นเตตีฟ (representative elements) คือ ตะกั่ว สารหนู พลวง และซิลิเนียม โลหะหนักสามารถถูกอิทธิพลพิษสิ่งแวดล้อมในแหล่งน้ำ และดินตะกอน เนื่องจากมีความคงตัว ไม่คลายตัวโดยกระบวนการทางธรรมชาติ ทำให้บางส่วนสามารถสะสมอยู่ในสิ่งมีชีวิตและถ่ายทอดตามห่วงโซ่อหารได้ (Logan & Feltz, 1985) ซึ่งผลทำให้เกิดอันตรายต่อมนุษย์ถ้าได้รับในปริมาณที่มากเกินควร การปนเปื้อนของโลหะหนักในแหล่งน้ำมีสาเหตุเกิดจากธรรมชาติ เช่น ภูเขาไฟระเบิด การผุพังของหิน และจากการกรองของมนุษย์ เช่น น้ำทิ้งจากโรงงานอุตสาหกรรม เกษตรกรรม เป็นต้น นอกจากนี้ยังอาจเกิดจากปัจจัยร่วม เช่น ในฤดูร้อน น้ำฝนที่ไหลผ่านชุมชนโดยเฉพาะบริเวณที่มีการคมนาคมหนาแน่น จะมีปริมาณโลหะหนักในน้ำและดินตะกอนในบริเวณนั้นมากกว่าในบริเวณอื่น ที่พบในแหล่งน้ำส่วนใหญ่มีแหล่งกำเนิดมาจากกิจกรรมของมนุษย์ (Browne et al., 1982)

แหล่งกำเนิดโลหะหนักในสิ่งแวดล้อม

ภาครี คคลา (2541) กล่าวถึง แหล่งกำเนิดของโลหะหนักที่พบในสิ่งแวดล้อมมาจากการ 7 แหล่งด้วยกันคือ

1. การสกัดล้างจากแผ่นดิน โลหะหนักที่ได้จากแหล่งนี้ถือว่าเป็นค่า background level ของบริเวณนั้น ๆ ซึ่งพบว่าพื้นที่ได้เป็นแหล่งแร่ของโลหะหนักจะพบว่ามีในบริเวณนั้นมีโลหะหนักชนิดนี้ ๆ สูงด้วย
2. ยานพาหนะ เป็นแหล่งใหญ่ในการเกิดการสะสมตัวของตะกั่วในบรรยากาศ และในแหล่งชุมชน
3. การรื้อถอนจากขยาย การรื้อถอนของโลหะหนักจากขยายจะมีผลต่อแหล่งน้ำบนบกหรือ

4. การเผาไหม้เชือเพลิง การผลิตปูนซีเมนต์และอิฐบล็อก เชือเพลิงประเทาทถ่าน น้ำมัน จะมีโลหะหนักบางตัวสูง เช่น สังกะสี แคนดเมียม นิกเกิล ใน การผลิตซีเมนต์ นอกจากนี้ยังพบว่า บริเวณรอบ ๆ ที่มีสิ่งก่อสร้างประเทาทอิฐจะมีโลหะหนักสะสมอยู่ด้วยค่อนข้างสูง
5. อุตสาหกรรมลุงแร่โลหะ ในระหว่างการถลุงแร่จะมีโลหะหนักปนอยู่กับน้ำทิ้ง
6. การใช้โลหะและสารประกอบโลหะ ในอุตสาหกรรม เช่น ใช้เกลือของโครเมียมในการฟอกหนัง ใช้สังกะสีในการทำห่อ เป็นต้น ก็เป็นที่มาของโลหะหนักสูงเหล่านี้
7. โรงงานอุตสาหกรรมต่าง ๆ เช่น พบอุดมเนียมจากโรงงานทำภาชนะพลาสติก โรงงานและโรงงานอัลลอยด์ สารนูจากโรงงานผลิตสารเคมี เมล็ด แคนดเมียมจากโรงงานชุบโลหะ โรงงานทำสีและโรงงานผลิตเม็ดพลาสติก โครเมียมจากโรงงานชุบโลหะ โรงงานสีและสารเคมี เมล็ด ตะกั่ว จากโรงงานแบนเตอร์ โรงงานสี และโรงกลั่นน้ำมัน เมกานีสจากโรงงานสี โรงงานผลิตแบนเตอร์ แห่งและโรงงานอัลลอยด์ นิกเกิลจากโรงงานชุบโลหะและโรงงานอัลลอยด์ พลาสติกจากโรงงานสี โรงย้อมสีและสารเคมี เมนจากรุตสาหกรรมการผลิตและล้างฟิล์ม และโรงงานชุบโลหะ สังกะสีจากโรงงานชุบโลหะและโรงงานทำสี เป็นต้น

ผลกระทบของโลหะหนักต่อมนุษย์

ความเป็นพิษของโลหะหนักเกิดจากการรับกวนกระบวนการเมตาโนบิลีซึ่งของเซลล์โดยกระบวนการที่สำคัญที่สุด คือ การรับกวนการทำงานของระบบเอนไซม์ โลหะหนักที่มีค่าอิเล็กโทรเนกาติฟสูง เช่น ทองแดง ปรอท และเงิน จะยึดจับกลุ่ม อะมิโน(NH_2), ออมิโน(NH) และชัลไฟด์ริล(SH) ของเอนไซม์และขัดขวางการทำงานของเอนไซม์ที่มีหมุ่เหล่านี้เป็นองค์ประกอบสำคัญ กลไกที่สำคัญอีกประการหนึ่งคือ โลหะหนักบางชนิด เช่น แคนดเมียม ทอง ทองแดง ปรอท และตะกั่ว สามารถยึดกับเยื่อหุ้มเซลล์ ทำให้คุณสมบัติในการเป็นตัวกัน และตัวควบคุมในการลำเลียงสารต่าง ๆ ของเยื่อหุ้มเซลล์เปลี่ยนแปลงไป (กิตติ เอกอภิพัน, 2528)

แคนดเมียม (Cadmium)

คุณสมบัติทางกายภาพและทางเคมี แคนดเมียมเป็นธาตุที่มีเลขอะตอม (atomic numbers) 48 น้ำหนักอะตอม (atomic weight) 112.40 ความถ่วงจำเพาะ (specific gravity) 8.65 จุดหลอมละลาย (melting point) 320.9 องศาเซลเซียส จุดเดือด (boiling point) 767 องศาเซลเซียส มีสีเงินแกมขาว น้ำหนักเบา อ่อน ดัดงอได้ง่าย ทนต่อการกัดกร่อน

ความเป็นพิษ มีผลกระทบต่อทางเดินอาหาร ทำให้อาเจียน และอาจถึงตายได้ถ้ามีการสะสมในร่างกายในปริมาณที่สูง มีผลกระทบทางเดินหายใจ ทำให้เกิดภาระคายเคือง หลอดลมปอด จมูก และคอ มีอาการปวดศีรษะ อ่อนเพลีย หน้าสัน มีไข้ เกิดเป็นโรค อิตอีตี มีผลต่อระบบเลือดที่เข้าสู่หัวใจ ความดันโลหิตสูง มีผลต่อระบบการสร้างเม็ดเลือด และการเกิดโรคโลหิตจาง มาตรฐานน้ำทึบ ปริมาณความเข้มข้นของแคนเดเมียมที่ยอมให้มีได้ในน้ำที่ระบายนอกจากโรงงานอุตสาหกรรม ต้องไม่เกิน 0.03 มิลลิกรัมต่อลิตร (สำนักงานคณะกรรมการสิ่งแวดล้อม, 2534)

ニเกิล (Nickel)

คุณสมบัติทางกายภาพและทางเคมี นิกเกิลเป็นธาตุที่มีเลขอะตอม (atomic numbers) 28 น้ำหนักอะตอม (atomic weight) 58.70 ความถ่วงจำเพาะ (specific gravity) 8.90 จุดหลอมละลาย (melting point) 1445 องศาเซลเซียส จุดเดือด (boiling point) 2914 องศาเซลเซียส มีสีเงินขาว อ่อน ดัดงอได้ง่าย

ความเป็นพิษ โดยทั่วไปจะไม่ถูกดูดซึมผ่านทางเดินอาหาร เป็นสารชั้ดนำทำให้เกิดโรคมะเร็งในช่องจมูก โพรงจมูก และปอด จะยับยั้งกิจกรรมของเอนไซม์ เมื่อเข้าสู่ร่างกาย นิกเกิลส่วนใหญ่จะไปสะสมตามกระดูกสันหลัง สมอง ปอดและหัวใจ พิษแบบเฉียบพลันจะทำให้มีอาการปวดหัว มีนิง คลื่นไส้อาเจียน ปวดและแน่นหน้าอก ไอแห้ง ๆ หายใจขาดช่วง ตัวเขียวเพราะชาดออกซิเจน อ่อนเพลียมาก มีเลือดออกในปอด มาตรฐานน้ำทึบปริมาณความเข้มข้นของนิกเกิลที่ยอมให้มีได้ในน้ำที่ระบายนอกจากโรงงานอุตสาหกรรม ต้องไม่เกิน 1.00 มิลลิกรัมต่อลิตร (สำนักงานคณะกรรมการสิ่งแวดล้อม, 2534)

สังกะสี (Zinc)

คุณสมบัติทางกายภาพและทางเคมี สังกะสีเป็นธาตุที่มีเลขอะตอม (atomic numbers) 30 น้ำหนักอะตอม (atomic weight) 65.40 ความถ่วงจำเพาะ (specific gravity) 7.13 จุดหลอมละลาย (melting point) 420 องศาเซลเซียส จุดเดือด (boiling point) 907 องศาเซลเซียส มีสีเทาปนฟ้า น้ำหนักเบา อ่อน ดัดงอได้ง่าย

ความเป็นพิษ มีผลกระทบต่อระบบทางเดินอาหาร ทำให้เกิดอาการคลื่นไส้อาเจียน ปวดท้อง ท้องร่วง ตะคริว มีผลต่อระบบการเจริญเติบโต ทำให้เกิดอาการแคระแกน ร่างกายไม่เจริญเติบโต มาตรฐานน้ำทึบปริมาณความเข้มข้นของสังกะสีที่ยอมให้มีได้ในน้ำที่ระบายนอกจากโรงงานอุตสาหกรรม ต้องไม่เกิน 5.00 มิลลิกรัมต่อลิตร (สำนักงานคณะกรรมการสิ่งแวดล้อม, 2534)

การดูดซับโลหะหนักทางชีวภาพ (Biosorption of heavy metals)

ความหมายของการดูดซับทางชีวภาพ (Biosorption definition)

การดูดซับทางชีวภาพ (Biosorption) นั้น Volesky (1990) ได้กล่าวถึงการศึกษาไว้ยังของ Rothstein และคณะ ในปี ค.ศ. 1948 พบว่าสูเรนิยมทำปฏิกิริยา กับผิวเซลล์ส์เกิดเป็นคอมเพล็ก (complex) กับหมู่ไดๆ ที่เกี่ยวข้องกับกระบวนการเมต้าโนบิลิซึ่งของกลุ่มโคส ต่อมาในปี ค.ศ. 1949 Ruchhoff ได้นำเอาหลักการดังกล่าวไปใช้ในการดึงพูลิเนียมจากน้ำโดยใช้ activated sludge ซึ่งพบว่าประมาณ 60% ของแร่กัมมันตภารังสีถูกดูดเกาะกับผิวเซลล์ได้ ซึ่งจากการศึกษาต่อๆ มาพบว่าไม่เฉพาะเซลล์ที่มีชีวิตเท่านั้นที่จะดูดซับสารกัมมันตภารังสี แต่เซลล์ที่ตายแล้ว (dead cell) ก็ยังสามารถดูดเกาะสารติดผิวเซลล์ได้ คล้ายกับเป็นตัวยึดเกาะทางชีวภาพ (biosorbent)

Shumate & Strandberg (1985) ได้กล่าวว่า Biosorption หมายถึง การเกิดปฏิกิริยาเคมี-กายภาพ ที่ไม่จำเพาะเฉพาะจง ระหว่างโลหะหนักหรือสารกัมมันตภารังสี กับ องค์ประกอบของผิวเซลล์ของสิ่งมีชีวิตแต่ละชนิด

Gadd & White (1993) ได้กล่าวว่า Biosorption หมายถึงการดูดซับโดยชีวมวลทั้งที่มีชีวิตและไม่มีชีวิตโดยกระบวนการทางกายภาพและเคมี เช่น การดูดซับหรือการแตกเปลี่ยนประจุ

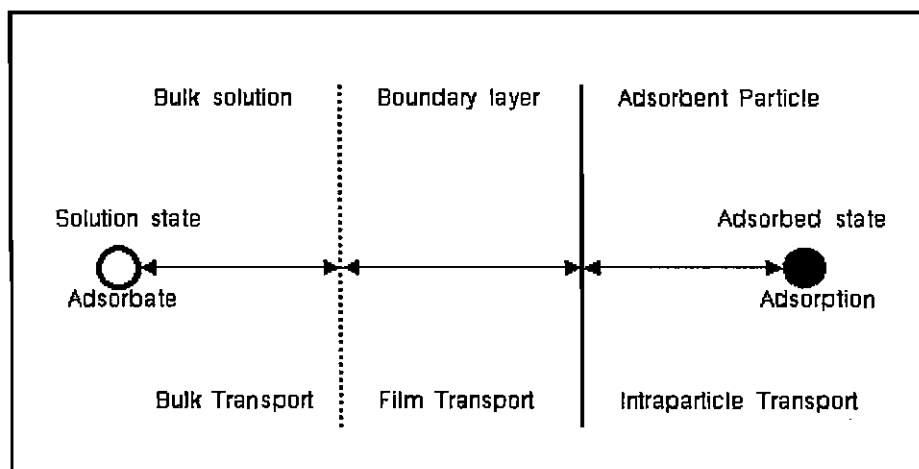
Kapoor & Viraraghavan (1995) ได้กล่าวว่า Biosorption หมายถึงความสามารถในการดูดกลืนโลหะหนักหรือสารกัมมันตภารังสี ออกจากสารละลายได้ในความสามารถต่างๆ กัน ของแบคทีเรีย รา ยีสต์ และสาหร่าย ซึ่งเกิดจากสิ่งมีชีวิตเล็กๆ รวมทั้งคุณสมบัติเฉพาะของโลหะนั้นๆ หรือเกิดการเกาะกลุ่มรวมกันกับชีวมวล ในลักษณะการสะสมทางชีวภาพ (bioaccumulation)

ดังนั้นในความหมายของการดูดซับทางชีวภาพ (Biosorption) หมายถึง การดูดกลืนโลหะหนักหรือสารกัมมันตภารังสี โดยชีวมวลที่มีชีวิตและไม่มีชีวิตโดยกระบวนการดูดซับโลหะหนัก อาจเกิดได้จากการกระบวนการ Complexation, Coordination, Chelation of metals, Adsorption Ion-exchange และ Inorganic microprecipitation (Volesky, 1990)

กลไกการดูดซับทางชีวภาพ (Biosorption mechanism)

กลไกการดูดซับเกี่ยวข้องกับการเคลื่อนที่ของไอออนโลหะหนักจากสารละลายสู่ผิวของ biosorbent (Weber, 1985) ขั้นตอนแรก เป็นการเคลื่อนที่ของไอออนโลหะหนักจากสารละลายไปยังผิวฟิล์มน้ำที่ล้อมรอบ biosorbent เกิดขึ้นอย่างรวดเร็ว เพราะมีการผสมหรือเกิดความบันป่วน (Gadd, 1988) ขั้นตอนที่สองเป็นการแพร่ไอออนโลหะหนักผ่านฟิล์มน้ำไปยังผิวของ biosorbent

และขั้นตอนที่สาม เป็นการดูดซึบระหว่างไอออนโลหะหนังกับ active sites บนผิว biosorbent เกิดขึ้นเร็วมาก (Tsezos et al., 1988) ซึ่งสามารถสรุปกลไกดังกล่าวได้ดังภาพ 1



ภาพ 1 ขั้นตอนการเคลื่อนที่ของตัวถูกดูดซึบในขั้นวนการ Biosorption
(McKay et al., 1983)

กระบวนการดูดซึบโลหะหนักโดยชีวมวลที่ไม่มีชีวิตเป็นการดูดซึบที่ไม่ขึ้นกับขั้นวนการ เมตาโนบิลิซึมของเซลล์ ซึ่งการดูดซึบโลหะเกิดขึ้นบริเวณผิว biosorbent โดยอาจเกิดจากการแลกเปลี่ยนไอออนโลหะหนัก ที่บริเวณหมู่เคมีต่าง ๆ เช่น การใช้กาลสัม อรุณ สับปะรด อินทรผลัม แอกเพลิ แครอท ซึ่งเป็นของเสียจากขั้นวนการผลิตน้ำผลไม้มาทำการดูดซึบโลหะหนัก พบว่า กลไกการดูดซึบไอออนโลหะหนักเกิดจากการแลกเปลี่ยนประจุ ซึ่งการของเสียเหล่านี้มีโครงสร้างที่ประกอบไปด้วยหมู่ฟังก์ชัน (functional groups) คาร์บอคิลิก(carboxylic)ฟิลนอลิก (phenolic) ซึ่งมีอยู่ในเซลลูลอสเมติก (cellulosic matrix) หรือวัสดุที่เกี่ยวข้องกับเซลลูลอส เช่น ลิกนิน (lignin) ไฮมิเซลลูลอส (hemicellulose) ซึ่งประกอบไปด้วยสารชีวโมเลกุล (biomolecules) เช่น โปรตีน (proteins) พอลิแซคคาไรด์ (polysaccharides) และ เอกซ์ตร้าเซลลูลาร์โพลิเมอร์ (extracellular polymers) มีโครงสร้างของ SO_4^{2-} , RCOO^- , PO_4^{3-} ซึ่งมีคุณสมบติในการแลกเปลี่ยนไอออนโลหะหนัก (Beveridge & Murray, 1980; Tobin et al., 1984; Barkley, 1991; Lee et al., 1998; Senthilkumaar et al., 2000; Nasernejad et al., 2004) หรืออาจมีหลายขั้นวนการร่วมกัน เช่น การดูดซึบทางกายภาพ (adsorption) การเกิดสารประกอบเชิงช้อน (complexation) การประสาน (coordination) การตกตะกอนสารอนินทรีย์ (inorganic microprecipitation) การคีเลตชัน (chelation) เป็นต้น (Volesky, 1990)

ปัจจัยที่มีอิทธิพลต่อการดูดซับ

อิทธิพลของขนาดอนุภาค (Effect of particle size)

Gupta et al. (2003) ได้ศึกษาอิทธิพลขนาดของถ่านจาก甘蔗อ้อย (bagasse fly ash) ซึ่งเป็นของเสียจากอุตสาหกรรมน้ำตาลต่อการดูดซับ แอดเมียร์และนิเกิล โดยศึกษาขนาดอนุภาคเท่ากับ 100-150, 150-200 และ 200-250 ไมครอน พบร้า ตัวดูดซับที่มีขนาดเล็กจะดูดซับได้ดีกว่าขนาดใหญ่ โดยวัดดูดซับขนาด 100-150 ไมครอน สามารถดูดซับแอดเมียร์ได้ 99% แต่ในการทดลองเลือกใช้ขนาด 200-250 ไมครอน เนื่องจากสามารถแยกตัวดูดซับได้ง่าย

Benguella & Benaissa (2002) ได้ศึกษาอิทธิพลของขนาดอนุภาคของโคติน (crab shell) ต่อการดูดซับแอดเมียร์ โดยศึกษาขนาดอนุภาค 6 กลุ่มคือ <0.20 , $0.20-0.63$, $0.63-1.25$, $1.25-2.50$, $2.50-4.10$ และ $4.10-6.30$ มิลลิเมตร พบร้า การเพิ่มหรือลดขนาดอนุภาคมีผลต่อความสามารถในการดูดซับแอดเมียร์และการเข้าสู่สมดุลการดูดซับคือ ขนาด <0.20 มิลลิเมตร ความสามารถในการดูดซับแอดเมียร์ 13.57 mg/g และการเข้าสู่สมดุลการดูดซับ 1 ชั่วโมง ขณะที่ ขนาด $4.10-6.30$ มิลลิเมตร ความสามารถในการดูดซับลดลงเท่ากับ 7.5 mg/g และการเข้าสู่สมดุลการดูดซับ 4 ชั่วโมง ดังนั้นจึงสรุปได้ว่าขนาดอนุภาคโคตินมีผลต่อประสิทธิภาพของการดูดซับแอดเมียร์

Gand & Weixing (1998) ได้ศึกษาอิทธิพลขนาดของก้านดอกทานตะวัน (sunflower stalks) ต่อการดูดซับโลหะหนักทองแดง แอดเมียร์ สังกะสีและโคเรเมียร์ โดยศึกษาขนาดอนุภาคเท่ากับ 25-45 และ >60 เมซ พบร้า ขนาดของตัวดูดซับมีผลต่อการดูดซับโดยอนของโลหะหนักโดยที่ตัวดูดซับขนาดเล็กจะสามารถดูดซับโดยอนของโลหะหนักได้ดีกว่าตัวดูดซับที่มีขนาดใหญ่

อิทธิพลของความบันปวน (Effect of agitation speed)

Benguella & Benaissa (2002) ศึกษาอิทธิพลของความบันปวนต่อการดูดซับแอดเมียร์ของโคติน (crab shell) โดยศึกษาความเร็วrob 0, 100, 250, 400, 500, 1000 และ 1250 รอบต่อนาที พบร้า ความเร็วที่เหมาะสมในการแทรกโดยอนแอดเมียร์เข้าสู่ผิวโคตินเท่ากับ 400 รอบต่อนาที โดยดูดซับแอดเมียร์ได้เท่ากับ 12.5 mg/g และยังพบอีกว่าความเร็วrob ที่ต่ำหรือสูงเกินไปมีผลทำให้ความสามารถในการดูดซับลดลง เช่น ความเร็วrob 1250 ต่อนาที ดูดซับได้เพียง 5.54 mg/g ซึ่งอธิบายได้ว่าโดยอนแอดเมียร์ไม่มีเวลาพอที่จะจับกับหมุนฟังก์ชันบริเวณผิวหน้าโคติน

Demirbas et al. (2002) ได้ศึกษาอิทธิพลของความบันปวนต่อการดูดซับนิเกล ของเปลือกตัว (hazelnut shell) โดยศึกษาความเร็วรอบเท่ากับ 50, 100, 150 และ 200 รอบต่อนาที พบร่วมกับความเร็วรอบเท่ากับ 50 ความสามารถในการดูดซับนิเกลจะต่ำ และผลของการดูดซับจะเพิ่มสูงขึ้นเมื่อความเร็วรอบเพิ่มขึ้นเท่ากับ 200 รอบต่อนาที

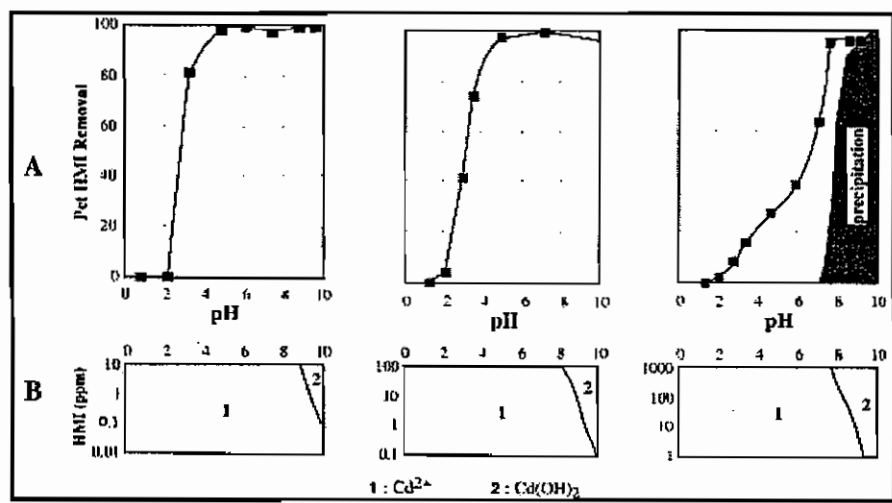
Singh et al. (1998) ได้ศึกษาอิทธิพลของความบันปวนต่อการดูดซับแคนเดเมียมของ hematite โดยศึกษาความเร็วรอบเท่ากับ 50, 75, 100 และ 125 รอบต่อนาที พบร่วมกับความเร็วรอบเพิ่มขึ้นจาก 50 ถึง 125 รอบต่อนาที มีผลทำให้การดูดซับเพิ่มขึ้นจาก $1.36 \mu\text{mol/g}$ เป็น $1.68 \mu\text{mol/g}$ ซึ่งอาจบ่งบอกได้ว่าอัตราของความบันปวนที่เพิ่มขึ้นทำให้ชั้น boundary layer ลดลง และการแพร่ไอออกแคนเดเมียมเข้าสู่ผิวน้ำวัสดุดูดซับได้มากขึ้น

อิทธิพลของความเป็นกรดด่าง (Effect of pH)

Boonamnuayvitaya et al. (2004) ได้ศึกษาอิทธิพลของ pH ต่อการดูดซับแคนเดเมียมของากกาแฟและดิน โดยศึกษาค่า pH 1-9 พบร่วมกับความสามารถในการดูดซับแคนเดเมียมเพิ่มขึ้นตามการเพิ่มขึ้นของค่า pH และสูงสุดที่ pH 7-9 ขณะที่ค่า pH ต่ำสามารถดูดซับแคนเดเมียมได้น้อย ซึ่งเป็นผลมาจากการอิทธิพลของไฮโดรเนียมไอโอน (H_3O^+) ที่แข่งขันกับไอโอนแคนเดเมียมสงผลในการปิดบังการดูดซับบนผิวดูดซับ

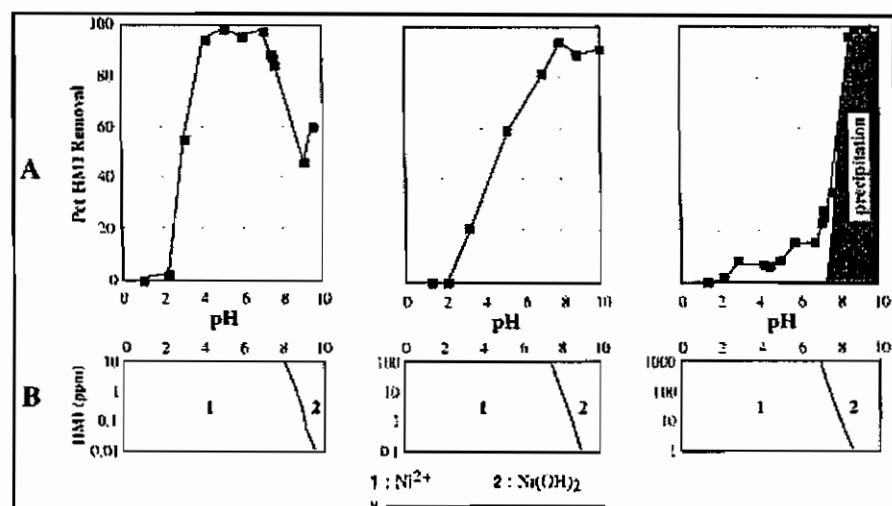
Romos et al. (1997) ได้ศึกษาการดูดซับแคนเดเมียมโดย Activated carbon พบร่วมปัจจัยสำคัญที่ทำให้เกิดการเปลี่ยนรูปของแคนเดเมียมคือค่า pH ของสารละลายเมื่อค่า pH ของสารละลายเปลี่ยนแปลง โลหะหนักแคนเดเมียมก็จะเปลี่ยนรูปตามเกิดเป็น $\text{Cd}^{2+}, \text{Cd}(\text{OH})^+, \text{Cd}(\text{OH})_2$ และ $\text{Cd}(\text{OH})_3$ แต่ในช่วง pH ประมาณ 8 แคนเดเมียมจะเริ่มตกลงกันเป็น $\text{Cd}(\text{OH})_2$

Gaballah & Kilbertus (1998) ได้ศึกษาอิทธิพลของ pH ต่อการดูดซับแคนเดเมียม นิเกล และสังกะสี ของเปลือกต้นสันที่ผ่านการปรับสภาพ (modified pine bark) โดยศึกษาค่า pH 0-10 ความเข้มข้นเริ่มต้นโลหะหนักเท่ากับ 10, 100 และ 1000 มิลลิกรัมต่อลิตร พบร่วมกับความสามารถในการดูดซับโลหะหนักจะเพิ่มขึ้นตามการเพิ่มขึ้นของค่า pH และยังพบอีกว่า แคนเดเมียมจะตกลงกันเป็น $\text{Cd}(\text{OH})_2$ เมื่อ $\text{pH} > 8$ ส่วนนิเกลจะเริ่มตกลงกันเป็น $\text{Ni}(\text{OH})_2$ $\text{pH} > 7$ และสังกะสีจะเริ่มตกลงกันเป็น $\text{Zn}(\text{OH})_2$ $\text{pH} > 6$ แสดงดังภาพ 2-4



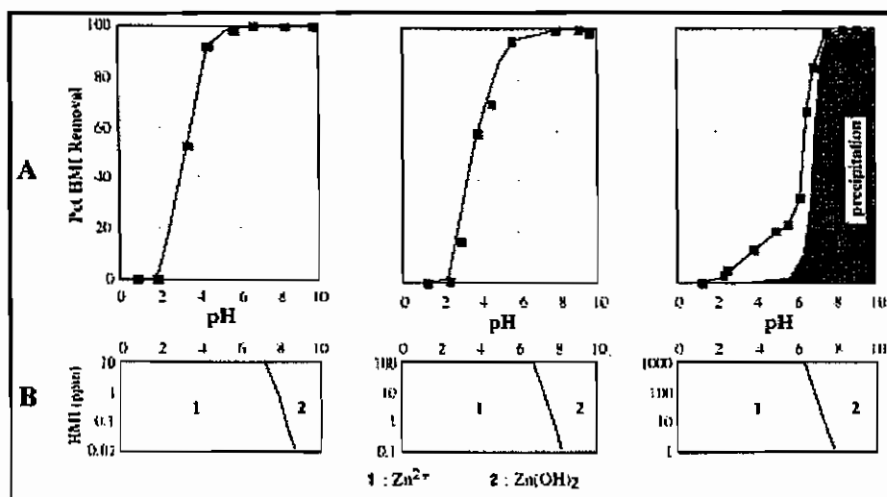
ภาพ 2 ผลของพีโอดต่อการดูดซึบแคดเมียมโดย modified pine bark.

(Gaballah & Kilbertus, 1998)



ภาพ 3 ผลของพีโอดต่อการดูดซึบニเกลโดย modified pine bark.

(Gaballah & Kilbertus, 1998)



ภาพ 4 ผลของพีเอชต่อการดูดซับสังกะสีโดย modified pine bark.

(Gaballah & Kilbertus, 1998)

อิทธิพลของอุณหภูมิ (Effect of temperature)

Chubar et al. (2004) ศึกษาถึงอิทธิพลของอุณหภูมิระหว่าง 15-50 องศาเซลเซียส ต่อการดูดซับ ทองแดง สังกะสี และนิเกิล ด้วยเชื้อมงคล (Coke) พบร่วมกัน ความสามารถในการดูดซับโลหะ หนักของเชื้อมงคลไม่เปลี่ยนแปลงในช่วงอุณหภูมิตั้งแต่ 15-50 องศาเซลเซียส

Martins et al. (2004) ศึกษาอิทธิพลของอุณหภูมิระหว่าง 5-30 องศาเซลเซียส ต่อการดูดซับแคนเดเมียม และสังกะสี ด้วยเม็ดมoss (*Fontinalis antipyretica* moss) พบร่วมกัน การดูดซับแคนเดเมียมไม่ขึ้นอยู่กับอุณหภูมิ ส่วนสังกะสีเพิ่มขึ้นเพียงเล็กน้อย

Aksu (2001) ได้ศึกษาถึงอิทธิพลของอุณหภูมิต่อการดูดซับแคนเดเมียมของสาหร่ายสีเขียว (*C. vulgaris*) โดยศึกษาอุณหภูมิระหว่าง 20-50 องศาเซลเซียส พบร่วมกัน การดูดซับเกิดได้ที่สุดที่ อุณหภูมิ 20 องศาเซลเซียส โดยสามารถดูดซับแคนเดเมียมได้ 62.3 mg/g และยังพบอีกว่าการดูดซับเป็นปฏิกิริยาความร้อน เมื่อเพิ่มอุณหภูมิจาก 20 ถึง 50 องศาเซลเซียส ทำให้ความสามารถในการดูดซับลดลงจาก 62.3 mg/g เหลือเพียง 34.9 mg/g

Ajmal et al. (2000) ได้ศึกษาอิทธิพลของอุณหภูมิต่อการดูดซับนิเกิลของเปลือกส้ม (*Citrus reticulata*) โดยศึกษาที่อุณหภูมิระหว่าง 30-50 องศาเซลเซียส พบร่วมกัน การดูดซับนิเกิลจะสูงขึ้นตามอุณหภูมิที่เพิ่มขึ้น การดูดซับเกิดได้ที่สุดที่อุณหภูมิ 50 องศาเซลเซียส โดยสามารถดูดซับนิเกิลได้ 158 mg/g ซึ่งอธิบายได้ว่าอุณหภูมิที่สูงขึ้นทำให้เกิดการขยายของโพรงหรือกระตุ้นผิวน้ำของตัวดูดซับทำให้ความสามารถในการดูดซับนิเกิลเพิ่มขึ้น

อิทธิพลของไอออนโลหะชนิดอื่นที่อยู่ร่วมกัน (Effect of co-metals)

การดูดซับไอออนโลหะหนักในสารละลายที่มีของไอออนโลหะหนักตั้งแต่ 2 ชนิดขึ้นไปอยู่ร่วมกัน อาจแสดงผลในทางเสริมฤทธิ์ (Synergistic) หรือยับยั้งฤทธิ์ (Antagonistic) ซึ่งเกิดจากการแข่งขันกันจับกับ active site ที่ผิวเซลล์ หรือการลำเลียงผ่านเยื่อเมมเบรนของไอออนโลหะหนัก (Ting & Teo, 1994)

Saeed et al. (2005) ศึกษาผลกระทบของแคนดี้เมียม ทองแดง นิเกิล และสังกะสี ที่มีผลต่อการดูดซับตะกั่วของเปลือกถั่วดำ (*Cicer arietinum*) ศึกษาทั้งแบบ binary และ ternary พบว่า โลหะหนักดังกล่าวไม่มีผลกระทบต่อการดูดซับตะกั่ว ซึ่งอธิบายได้ว่าตะกั่วมีขนาดไอออนที่ใหญ่กว่าทำให้ดูดซับบนพื้นผิวเปลือกถั่วดำได้มากกว่า

Iqbal & Edyvean (2004) ได้ศึกษาผลของการเสริมฤทธิ์ (Synergistic) หรือยับยั้งฤทธิ์ (Antagonistic) ของการดูดซับไอออนตะกั่ว สังกะสี และทองแดง ในสารละลายที่มีของไอออนโลหะหนักตั้งแต่ 2 ชนิดขึ้นไปอยู่ร่วมกันด้วยเชื้อมวล (*Phanerochaete chrysosporium*) จากการศึกษาพบว่า การดูดซับตะกั่วลดลง 6.35% ส่วนทองแดงลดลง 30.22% และสังกะสีลดลง 50.82% ซึ่งการดูดซับสังกะสี และทองแดง ลดลงอย่างมากเมื่อเทียบกับตะกั่วซึ่งลดลงเพียงเล็กน้อยอาจเป็นผลมาจากการที่มีน้ำหนักอะตอม (atomic weight) และค่าอิเล็กตรอนิกาติวิตี้ (electronegativity) ที่สูงกว่าทำให้ดูดซับบนเชื้อมวลได้มากกว่าทองแดง และสังกะสี

Benguella & Benaissa (2002) ศึกษาผลกระทบของทองแดง และสังกะสี ที่มีผลต่อการดูดซับแคนดี้เมียมของโคติน (crushed crab shells) พบว่าการเพิ่มความเข้มข้นของทองแดงทำให้การดูดซับแคนดี้เมียมลดลงส่วนไอออนของสังกะสีไม่มีผลต่อการดูดซับแคนดี้เมียม ซึ่งการยับยั้งการดูดซับแคนดี้เมียมของทองแดงนี้มีผลมาจากการที่มีรัศมีไอออนที่เล็กกว่าทำให้สามารถผ่านเข้าไปในโพรงขนาดเล็กได้มากกว่าทำให้ดูดซับบนพื้นผิวโคตินได้มากกว่าเช่นเดียวกัน

Lee et al. (1998) ศึกษาผลกระทบของ นิเกิล และตะกั่ว ที่มีผลต่อการดูดซับทองแดงของากแอปเปิล (apple residues) จากการศึกษาพบว่า เมื่ออัตราส่วนของทองแดงและนิเกิลเท่ากับ 1:1 การดูดซับทองแดงลดลงเพียงเล็กน้อยและเมื่อเพิ่มอัตราส่วนเป็น 1:10 การดูดซับทองแดงลดลงอย่างมาก ส่วนการดูดซับทองแดงและตะกั่วพบว่า เมื่ออัตราส่วนของทองแดงและตะกั่วเท่ากับ 1:1 เป็นผลทำให้การดูดซับทองแดงลดลง 36% ซึ่งผลการทดลองแสดงให้เห็นว่าตะกั่วมีความสามารถในการแข่งขันกับทองแดงในการดูดซับบนากแอปเปิลได้ดีกว่านิเกิล

Ting & Teo (1994) ศึกษาการใช้ยีสต์ (*Saccharomyces cerevisiae*) ดูดซับแอดเมียร์ และสังกะสี พบร่วมกับสังกะสีไม่มีผลต่อการดูดซับแอดเมียร์ และการลำเลียงเข้าสู่เซลล์ เนื่องจากไอออนโลหะทั้งสองจับกับหมุ่เครื่องผงนังเซลล์ยีสต์ที่ต่างกัน โดยแอดเมียร์ จับกับหมุ่เครื่องพาก Sulfur Donor ขณะที่ สังกะสีขอบจับกับหมุ่เครื่องที่เป็นพาก Oxygen/Nitrogen Donor นอกจากนี้แอดเมียร์ และสังกะสีต่างมีความสัมพันธ์ต่อพื้นที่ผิวเซลล์ได้ต่างกัน

Norris & Persson (1977) ศึกษาผลกระทบของไอออนสังกะสี นิกเกิล เมกนีเซียม แมงกานีสและแอดเมียร์ ที่มีผลต่อการดูดซับแอดเมียร์และโครงสร้างของยีสต์ (*Saccharomyces cerevisiae*) พบร่วมกับไอออนของสังกะสี นิกเกิล และแมงกานีส จะยับยั้งการดูดซับโคบอลต์ ส่วนไอออนของแคลเซียมและแมงกานีส จะยับยั้งการดูดซับโลหะแอดเมียร์ ซึ่งการยับยั้งการดูดซับโคบอลต์และแอดเมียร์มีผลจากการไอออนโลหะที่มีขนาดใกล้เคียงกับโคบอลต์และแอดเมียร์ จะไปยังจับกับ active site ที่ผิวเซลล์

การสกัดไอออนโลหะหนัก (Desorption of heavy metals)

เพื่อให้ขบวนการ biosorption มีความคุ้มค่าทางเศรษฐกิจ biosorbent จะต้องเรียนรู้กลับมาใช้ใหม่ได้หลายครั้ง ดังนั้นการสกัดโลหะออกจาก biosorbent และนำ biosorbent กลับมาใช้ใหม่สามารถทำได้โดยใช้สารละลายกรด หรือสารละลายเกลือโซเดียมต่าง ๆ (Butter, 1998; Tungtakanpong, 2002)

ร่องวัสดุชีวมวลที่มีชีวิตมีการสะสมไอออนโลหะหนักทั้งที่บริเวณผงนังเซลล์ และภายในเซลล์ ส่วนวัสดุชีวมวลที่ไม่มีชีวิตมีการสะสมที่ผงนังเซลล์เท่านั้น ไอออนโลหะหนักที่สะสมภายในเซลล์มีชีวิตจะยากต่อการสกัดออกจากเซลล์ แต่ไอออนโลหะหนักที่ผงนังเซลล์สามารถสกัดออกได้ แต่เมื่อความเข้มข้นของสารละลายในการสกัดมากกว่า 1 M. จะทำให้วัสดุชีวมวลถูกทำลาย และมีประสิทธิภาพในการดูดซับลดลง (Gadd, 1990)

Saeed & Iqbal (2003) ได้ศึกษาเปรียบเทียบการสกัดไอออนแอดเมียร์ออกจากเปลือกถั่วดำ (*Cicer arietinum*) โดยใช้สารละลาย HCl, H_2SO_4 , HNO_3 , EDTA, Na_2CO_3 , $NaHCO_3$, KCl, Na-citrate ความเข้มข้น 0.1 M. พบร่วมกับ HCl, H_2SO_4 , HNO_3 , EDTA สามารถสกัดแอดเมียร์ได้มากกว่า 98%

Ahuja et al. (1999) ได้ศึกษาเปรียบเทียบการสกัดไอออนสังกะสีออกจากสาหร่าย (*Oscillatoria angustissima*) โดยใช้สารละลาย EDTA (0.5-10 mM.), Na_2CO_3 (0.75-10 mM.),

NaHCO_3 (0.75-10 mM.), HCl (0.01-0.1 N.), H_2SO_4 (0.01-0.1 N.), CaCl_2 (0.5-2 mM.), Citrate buffer (0.2 M.) พぶว่า EDTA ความเข้มข้น 10 mM. สามารถสกัดสังกะสีได้ที่สุด 64.72%

Kapoor et al. (1999) ได้ศึกษาเปรียบเทียบการสกัดโดยอนตะกั่ว แคนดเมียม ทองแดง และนิเกิลจากกาจรา (*Apergillus niger*) โดยใช้สารละลาย HNO_3 (0.05 N.), Na_2CO_3 (0.1 N.), NaHCO_3 (0.1 N.), NH_4Cl (0.1 N.), Ca^{2+} (0.1 M.), Mg^{2+} (0.1 M.) พぶว่า HNO_3 ความเข้มข้น 0.05 N. สามารถสกัดโดยอนตะกั่ว แคนดเมียม ทองแดง และนิเกิลได้มากกว่า 98%

Suhasini et al. (1999) ทำการเปรียบเทียบการสกัดโดยอนโคบอลต์จาก *Rhizopus* โดยใช้สารละลาย H_2SO_4 , HCl, KOH, NaOH, NH_4Cl และ CaCl_2 ความเข้มข้น 0.1 N. ผลการทดลองพบว่า การใช้ HCl ความเข้มข้น 0.1 N. สามารถสกัดโดยอนโคบอลต์ได้มากกว่า 92 % และวัสดุชีวมวลยังคงมีประสิทธิภาพสูง เมื่อนำมาดูดซับโดยอนโคบอลต์ใหม่อีกรัง รองลงมาคือ H_2SO_4 สามารถสกัดโดยอนโคบอลต์ได้มากกว่า 90.5 %

Gaballah & Kilbertus (1998) ที่ได้ศึกษาเปรียบเทียบการสกัดโดยอนแคนดเมียม และทองแดงจากเปลือกต้นสนที่ผ่านการปรับสภาพ (modified pine barks) โดยใช้สารละลาย HCl ความเข้มข้น 0.1, 0.2, 0.5, 1 N. และ H_2O พぶว่า HCl ความเข้มข้น 1 N. สามารถสกัดแคนดเมียมและทองแดงได้ 100%

Puranik & Paknikar (1997) ได้ศึกษาเปรียบเทียบการสกัดโดยอนตะกั่วและสังกะสีจาก จากชีวมวลเหลืองทึ้ง (*Streptoverticillium cinnamoneum*) โดยใช้สารละลาย HCl, H_2SO_4 , HNO_3 , EDTA, Na_2CO_3 , NaHCO_3 , KCl, Na-citrate ความเข้มข้น 0.1 M. พぶว่า HCl, H_2SO_4 , HNO_3 , EDTA สามารถสกัดตะกั่วและสังกะสีได้มากกว่า 90%

Mattuschka & Straube (1993) ทำการเปรียบเทียบการสกัดโดยอนโลหะทองแดง ตะกั่ว ออกจากชีวมวล (*Streptomyces noursei*) โดยใช้สารละลาย Acetic acid, Lactic acid, HCl, HNO_3 , EDTA, NaHCO_3 และ NaOH พぶว่าสารละลายกรดทั้ง 4 ชนิด สามารถสกัดโดยอนโลหะหนักได้ประมาณ 95% จึงได้ทำการศึกษาต่อโดยนำ HCl ที่ความเข้มข้นระหว่าง 0.01-1 M. มาสกัดโดยอนโลหะหนัก ผลการทดลองพบว่า HCl ความเข้มข้น 0.1 M. สามารถนำไปใช้ในทางปฏิบัติได้จริง เนื่องจากความเข้มข้นต่ำซึ่งไม่มีผลทำให้เซลล์ถูกทำลาย และมีประสิทธิภาพในการสกัดโดยอนโลหะหนักได้มากกว่า 85%

Kuyucak & Volesky (1989) ได้ทำการศึกษาเปรียบเทียบการสกัดโดยอนโคบอลต์จาก จากชีวมวล (*Ascophyllum nodosum*) โดยใช้สารละลาย H_2SO_4 , HCl, NH_4OH , KHCO_3 , EDTA, KSCN, KCl และ CaCl_2/HCl พぶว่า การใช้ CaCl_2/HCl ความเข้มข้น 0.05 M. สามารถสกัดโดยอน

โคบอลต์ได้มากกว่า 96 % และวัสดุชีวมวลยังคงมีประสิทธิภาพสูง เมื่อนำมาดูดซับไฮอน โคบอลต์ในเมือครั้ง ส่วน H_2SO_4 , KSCN และ HCl สามารถสกัดไฮอนโคบอลต์ได้มากกว่า 90 % แต่ H_2SO_4 และ KSCN จะทำให้เกิดการสูญเสียของวัสดุดูดซับ และสารละลายหลังการสกัดมีสีเหลือง และสีเข้มพู ส่วน NH_4OH , $KHCO_3$ และ EDTA สกัดไฮอนโคบอลต์ได้ 39%, 57% และ 60% ตามลำดับ

สภาวะสมดุลของการดูดซับ (Equilibrium Adsorption)

เมื่อเกิดการดูดซับตัวถูกละลายจะเคลื่อนที่ออกจากสารละลายไปเกาะบนผิวของตัวดูดซับ ทำให้ความเข้มข้นของตัวถูกละลายที่ผิวน้ำของตัวดูดซับเพิ่มขึ้น การดูดซับจะดำเนินไปเรื่อยๆ แต่จะไม่ได้ค่า maximum capacity เพราะมีผลของการถ่ายเทมวลสารเข้ามาเกี่ยวข้องกับการสัมผัสระหว่างของแหล่งและของแข็ง ทำให้ตัวถูกละลายเกิดการดูดซับและการยายการดูดซับไปพร้อมๆ กัน จนกระทั่งอัตราการดูดซับ (adsorption) เท่ากับอัตราการยายการดูดซับ (desorption) ซึ่งเรียกว่าระบบเข้าสู่สภาวะสมดุลของการดูดซับ (equilibrium adsorption) ที่อุณหภูมิคงที่ ณ สภาวะสมดุลย์นี้ ความเข้มข้นของตัวถูกละลายในสารละลายกับความเข้มข้นของตัวถูกละลายที่ผิวน้ำของตัวดูดซับจะคงที่ สามารถอธิบายสมดุลที่เกิดขึ้นด้วยไฮโซเทอมของการดูดซับที่แสดงความสัมพันธ์ระหว่างปริมาณของตัวถูกละลายที่ถูกดูดซับต่อหน่วยน้ำหนักของตัวดูดซับ (q) กับความเข้มข้นของตัวถูกละลายที่อยู่ในสารละลาย ที่สภาวะสมดุลย์ (C_e) ณ อุณหภูมิคงที่ (วิวรรณ ขาวเกียรติกุล, 2539; ชัยวัฒน์ เจนวานิชย์, 2522)

ไฮโซเทอมของการดูดซับ (Adsorption Isotherm)

ไฮโซเทอมของการดูดซับเป็นส่วนที่สำคัญมากเพื่อบอกถึงปริมาณการดูดซับสารหรือไฮอนบนผิวของตัวดูดซับส่วนนี้เกิดจากการลากเส้นต่อ กันระหว่างจุดต่างๆ ที่ได้จากความสัมพันธ์ระหว่างปริมาณของสารหรือไฮอนที่ถูกดูดซับไว้ต่อหน่วยน้ำหนักของสารดูดซับกับความเข้มข้นของสารหรือไฮอนที่เหลืออยู่ในสารละลายที่สภาวะสมดุลย์ ณ อุณหภูมิคงที่ โดยทั่วไปการศึกษาการดูดซับมักพบไฮโซเทอมใน 5 ลักษณะ แสดงดังภาพ 2.5 จำแนกจากลักษณะความโค้งความข้นของเส้นไฮโซเทอมในช่วงเริ่มต้น

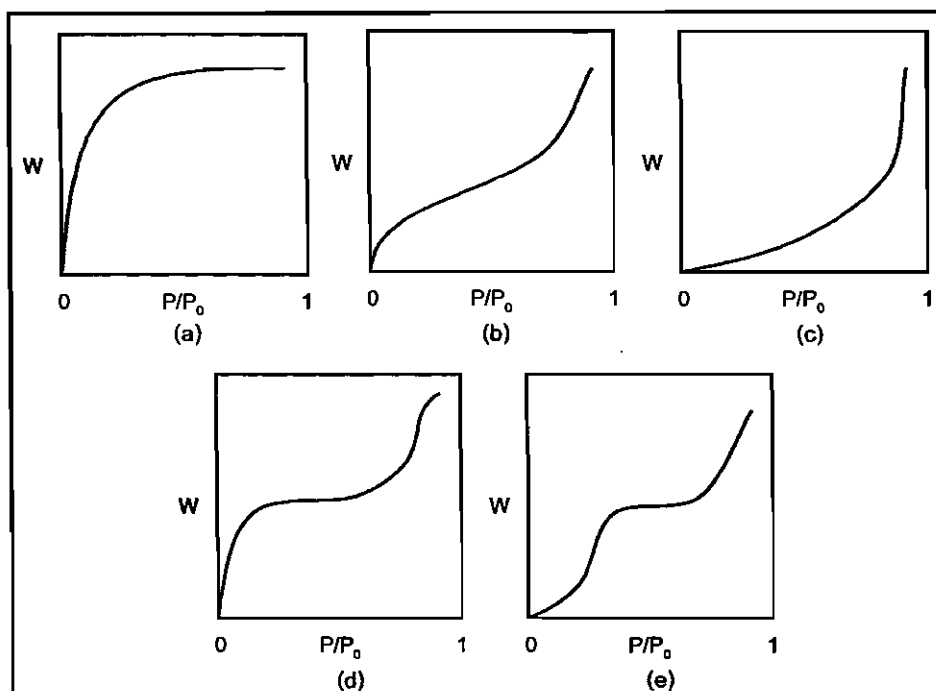
Type I Isotherm (แสดงดังภาพ 5 a) พบมากที่สุดเป็นการดูดซับโดยที่มีขั้นของตัวถูกดูดซับคุณที่ผิวของตัวถูกดูดซับได้หนาหนึ่งโมเลกุล (monolayer) พบทั้งการดูดซับทางเคมีและการดูดซับทางฟิสิกส์ จะเป็นปรากฏการณ์การดูดซับของ microporous powders ซึ่งปริมาณของการดูดซับจะเพิ่มขึ้นอย่างรวดเร็วที่ความดันสัมพัทธ์ (relative pressure) ต่ำ ๆ และที่ความดันสัมพัทธ์สูงเข้าไปยังหนึ่ง จะมีการดูดซับเกิดขึ้นเพียงเล็กน้อย ซึ่งถ้ามีการดูดซับแบบนี้แสดงว่าผลิตภัณฑ์มีรูพรุนเป็น microporous และมีปริมาณมากเมื่อเทียบกับพื้นที่ผิวภายนอกของผลิตภัณฑ์

Type II Isotherm (แสดงดังภาพ 5 b) พบมากในปรากฏการณ์การดูดซับที่มีขั้นของตัวถูกดูดซับหนาขึ้นเรื่อย ๆ (ปริมาณที่ถูกดูดซับเข้าสู่ค่าอนันต์) โดยจะเกิดบน nonporous powder ที่มีเส้นผ่านศูนย์กลางของรูพรุนกว้างกว่า microporous (1.5 นาโนเมตร) ที่จุดเปลี่ยนกราฟ (inflection point or knee of isotherm) เกิดขึ้น เมื่อการดูดซับบนพื้นผิวขั้นแรกเกิดเกือบสมบูรณ์แล้ว (เป็น monolayer เกือบสมบูรณ์) และถ้าเพิ่ม relative pressure จะทำการดูดซับเกิดมากกว่า 1 ชั้น ดังนั้นการดูดซับแบบนี้จะเป็นการดูดซับแบบ multilayer

Type III Isotherm (แสดงดังภาพ 5 c) การดูดซับคล้าย Type II แต่การดูดซับของขั้นแรกนั้นให้ความร้อนออกมาน้อยกว่าความร้อนของการควบแน่น เป็นลักษณะเฉพาะของการเกิดความร้อนของการดูดซับ (heat of adsorption) มีน้อยกว่าความร้อนของการจับตัวกันของตัวถูกดูดซับที่เป็นของเหลว (the adsorbate heat of liquefaction) ดังนั้นการดูดซับที่เพิ่มขึ้น เกิดเพราะตัวถูกดูดซับทำปฏิกิริยากับชั้นของตัวถูกดูดซับมากกว่าปฏิกิริยากับผิวของตัวถูกดูดซับ

Type IV Isotherm (แสดงดังภาพ 5 d) เป็นปรากฏการณ์ที่เกิดบนตัวถูกดูดซับที่มีรัศมีรูพรุนประมาณ 15-1,000 Å มีส่วนของการดูดซับคล้าย Type II สำหรับความหนาของชั้นโมเลกุลขั้นแรก ๆ แต่การดูดซับจะถึงจุดอิ่มตัวเนื่องจากรูพรุนแคปิลารีภายในตัวถูกดูดซับเต็มหมดแล้ว ความชันที่เพิ่มขึ้นเมื่อ relative pressure เพิ่มขึ้นซึ่งให้เห็นว่าตัวถูกดูดซับเข้าไปในรูพรุนได้มากขึ้น ปรากฏการณ์ที่มีจุดเปลี่ยนของเส้นกราฟเกิดเช่นเดียวกับใน Isotherm Type II คือเกือบเป็น monolayer สมบูรณ์

Type V Isotherm (แสดงดังภาพ 5 e) การดูดซับคล้าย Type III ในช่วงความเข้มข้นต่ำแต่การดูดซับเพิ่มขึ้นเรื่อย ๆ จะเข้าสู่ค่าสูงสุดหนึ่งเท่านเดียวกับ Type IV เป็นปรากฏการณ์การดูดซับที่เป็นผลจากแรงดึงดูดซับและตัวถูกดูดซับมีค่าน้อย ๆ โดยขนาดของรูพรุนอยู่ในช่วงประมาณ 15-1,000 Å มีส่วน (Weber, 1972)



ภาพ 5 รูปแบบ Adsorption Isotherm (Weber, 1972)

สมการที่ใช้อธิบายไอโซเทอม

การอธิบายไอโซเทอมของการดูดซับจะนิยมเปลี่ยนเส้นโค้งให้อยู่ในรูปเด่นตรงแล้วคำนวณหาค่าต่าง ๆ ด้วยสมการเพื่อใช้อธิบายการดูดซับ โดยสมการที่ใช้มีหลายแบบ แต่จะอธิบายในที่นี้ได้แก่ รูปแบบของสมการ Langmuir และ Freundlich Adsorption Isotherm

Langmuir Adsorption Isotherm

แบบจำลองนี้พัฒนามาจากแนวคิดที่ว่าเมื่อความเข้มข้นของตัวกรุดูดซับเพิ่มขึ้น จำนวน ตัวกรุดูดซับ ที่ถูกจับกับตำแหน่ง binding sites บนตัวดูดซับก็มากขึ้น ขัดขวางการจับของโมเลกุลอื่น ดังนั้นอัตราการดูดซับจึงเป็นสัดส่วนระหว่างตำแหน่ง binding sites ที่ว่างบนตัวดูดซับ กับความเข้มข้นของตัวกรุดูดซับ และที่สภาวะสมดุลอัตราการดูดซับเท่ากับอัตราการรายการดูดซับ ลักษณะการดูดซับจึงเป็นลักษณะ monolayer (Danald, 1995; ศิริรัตน์ ศรีเกษwer, 2543) โดยมีสมมติฐาน ดังนี้

1. การดูดซับมีลักษณะเป็น monomolecular layer คือมีจำนวนตำแหน่งที่เกิดการดูดซับแน่นอน และเมื่อเกิดการดูดซับแล้ว อิออนหรือโมเลกุลจะไม่ข้อนกับซึ่งกัน และกันหรือขันของตัวถูกดูดซับมีความหนาเท่ากันหมด
2. เมื่อดูดซับ ตัวถูกดูดซับจะไม่มีการเคลื่อนย้ายหรือเปลี่ยนตำแหน่งกันในพื้นที่ผิวสัมผัส และตัวถูกดูดซับจะไม่มีผลกระทบต่อกัน
3. พื้นที่ผิวในการดูดซับ มีตำแหน่งและกลไกการดูดซับเหมือนกัน ทำให้โครงสร้างสารเชิงชั้นที่เกิดขึ้นเหมือนกันเป็น homogeneous surface
4. พลังงานของการดูดซับจะเหมือนกันทุก ๆ พื้นที่ของตัวดูดซับ

กำหนดให้ปริมาณโลหะหนักที่ถูกดูดซับต่อกรัมของวัสดุดูดซับ

$$q = \frac{V(C_i - C_e)}{W} \quad (2.1)$$

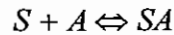
โดย q คือ ปริมาณโลหะหนักที่ถูกดูดซับต่อกรัมของวัสดุดูดซับ (mg/g)
 C_i คือ ค่าความเข้มข้นเริ่มต้นของสารละลาย (mg/l)
 C_e คือ ค่าความเข้มข้นของสารละลายที่สมดุล (mg/l)
 V คือ ปริมาตรสารละลาย (ml)
 W คือ น้ำหนักวัสดุดูดซับ (g)

สัดส่วนของพื้นที่ผิวที่ถูกปักคลุมด้วยโมเลกุลที่ถูกดูดซับ

$$\theta = \frac{q}{q_{\max}} \quad (2.2)$$

โดย q คือ ปริมาณโลหะหนักที่ถูกดูดซับต่อกรัมของวัสดุดูดซับ (mg/g)
 q_{\max} คือ ปริมาณโลหะหนักมากที่สุดที่ถูกดูดซับต่อกรัมของวัสดุดูดซับ (mg/g)
 θ คือ สัดส่วนของพื้นที่ผิวที่ถูกปักคลุมด้วยโมเลกุลที่ถูกดูดซับ

ถ้าให้ A แทนโมเลกุลของตัวถูกละลาย และ S แทนตำแหน่ง binding sites ที่ว่างอยู่ในตัวดูดซับ และ SA แทนโมเลกุลของตัวถูกละลายบน binding sites จะสามารถเขียนสมดุลของการดูดซับได้ดังนี้



อัตราการดูดซับต่อหน่วยพื้นที่ผิวทั้งหมด (rate of adsorption; r_{ax})

$$R_{ax} = k_a C_e (1 - \theta) \quad (2.3)$$

โดย k_a คือ ค่าคงที่ของการดูดซับ ($\text{l}/\text{m}^2 \cdot \text{s}$)

C_e คือ ค่าความเข้มข้นของสารละลายที่สมดุล (mg/l)

อัตราการคายการดูดซับต่อหน่วยพื้นที่ผิวทั้งหมด (rate of desorption)

$$R_{dx} = k_d \theta \quad (2.4)$$

โดย k_d คือ ค่าคงที่ของการคายการดูดซับ ($\text{mg}/\text{m}^2 \cdot \text{s}$)

การดูดซับที่สมดุล

$$k_a C_e (1 - \theta) = k_d \theta \quad (2.5)$$

กำหนดให้ $b = \frac{k_a}{k_d}$ = Langmuir Adsorption equilibrium constant (l/mg)

$$\frac{\theta}{(1 - \theta)} = \frac{k_a C_e}{k_d} = b C_e$$

$$\theta = b C_e (1 - \theta) = b C_e - b C_e \theta$$

$$\theta + b C_e \theta = b C_e$$

$$\theta(1+bC_e) = bC_e$$

$$\theta = \frac{bC_e}{1+bC_e}$$

จาก $\theta = \frac{q}{q_{\max}}$ จะได้

$$\frac{q}{q_{\max}} = \frac{bC_e}{1+bC_e}$$

$$q = \frac{q_{\max} bC_e}{1+bC_e} \quad (2.6)$$

เมื่อนำมาเขียนใหม่ให้อยู่ในรูปความสัมพันธ์เชิงเส้น

$$\frac{Ce}{q} = \frac{1}{bq_{\max}} + \frac{Ce}{q_{\max}} \quad (2.7)$$

ซึ่งค่าคงที่ q_{\max} และ b ได้จากการค่าความชันของกราฟ และจุดตัดแกน y ตามลำดับของกราฟ
ความสัมพันธ์ระหว่าง $\frac{Ce}{q}$ กับ C_e

Freundlich Adsorption Isotherm

สมการของ Freundlich นี้ตั้งอยู่บนสมมติฐานว่า

1. การดูดซับมีลักษณะเป็น monolayer
2. ใช้กับกรณีการถ่ายเทพลังงานผ่านพื้นผิวแบบไม่เป็นเนื้อเดียว
3. ใช้ได้กับดูดซับที่มีแนวโน้มถูกดูดได้ง่ายและมีความเข้มข้นต่ำถึงปานกลาง

สมการของ Freundlich แสดงได้ดังนี้

$$q = kC_e^{1/n} \quad (2.8)$$

หรือเปลี่ยนให้อยู่ในรูปของสมการเส้นตรง

$$\log q = \log k + \frac{1}{n} \log C_e \quad (2.9)$$

โดย k คือ Adsorption Capacity (mg/g)

$1/n$ คือ Adsorption Intensity

C_e คือ ค่าความเข้มข้นของสารละลายที่สมดุล (mg/l)

q คือ ปริมาณโลหะหนักที่ถูกดูดซับต่อกรัมของวัสดุดูดซับ (mg/g)

เมื่อนำค่า $\log q$ กับ $\log C_e$ มาสร้างกราฟความสัมพันธ์ โดยให้ $\log C_e$ เป็นแกน y และ $\log C_e$ เป็นแกน x จะได้กราฟเส้นตรงมีค่าความชันเท่ากับ $1/n$ และจุดตัดแกน y เท่ากับ $\log k$ เมื่อ $1/n$ มีค่าเข้าใกล้ 1 หรือมีความชันมากจะแสดงให้เห็นว่าการเปลี่ยนแปลงความเข้มข้นเพียงเล็กน้อยก็จะมีผลต่ออัตราการดูดซับมาก คือ เมื่อความเข้มข้นต่ำอัตราการดูดซับก็จะต่ำและจะเพิ่มขึ้น เมื่อความเข้มข้นสูงขึ้น แต่เมื่อ $1/n << 1$ หรือความชันต่ำมากจนบางครั้งเกือบจะชิดแกน x นั้น แสดงว่า อัตราการดูดซับเมื่อความเข้มข้นต่ำหรือสูงจะไม่แตกต่างกันมากนัก หรือการเปลี่ยนแปลงความเข้มข้นจะไม่มีผลต่ออัตราการดูดซับ อย่างไรก็ตามจากลักษณะของ Freundlich Isotherm จะสังเกตเห็นว่าการดูดซับจะเกิดขึ้นเรื่อย ๆ ตราบเท่าที่ความเข้มข้นของไอออนหรือโมเลกุลในสารละลายมีสูงขึ้น ซึ่งก็เป็นข้อเสียของสมการ Freundlich ที่สำคัญข้อหนึ่งคือ ไม่สามารถทำนายการดูดซับสูงสุดได้

คุณสมบัติของวัสดุชีวมวลในการเป็นวัสดุดูดซับที่ดี

การกำจัดไอออนโลหะหนักออกจากสารละลายโดยใช้วัสดุชีวมวลเป็นตัวดูดซับนั้น วัสดุชีวมวลควรมีคุณสมบัติดังนี้

- สามารถดูดซับไอออนโลหะหนักออกจากสารละลายได้ในปริมาณสูงและรวดเร็ว
- มีความสามารถในการดูดซับไอออนโลหะหนักได้หลายชนิด ไม่จำเพาะเจาะจงต่อไอออนโลหะหนักชนิดใดชนิดหนึ่งเท่านั้น เพราะในน้ำทึ้งส่วนใหญ่มีไอออนโลหะหนักหลายชนิดไปพรกันอยู่
- สามารถแยกออกจากสารละลายได้ง่าย รวดเร็ว และมีค่าใช้จ่ายที่ต่ำ

4. กระบวนการสกัดไฮดรอนโลหะหนักออกจากวัสดุชีวมวล ควรทำได้ง่ายและรวดเร็ว ส่วนสารเคมีที่ใช้ความรีเคราค่าถูกและหาได้ง่าย

5. วัสดุชีวมวลที่ถูกสกัดไฮดรอนโลหะหนักออกแล้ว ควรสามารถนำกลับมาใช้เป็นวัสดุดูดซับได้อีกหลาย ๆ ครั้ง (อรพิน ภูมิภนร และปิยะพันธ์ อัศวดิษฐ์เดช, 2527)

งานวิจัยที่เกี่ยวข้อง

Tee & Khan (1988) ได้ทำการศึกษาความสามารถของเศษใบชาในการดูดซับโลหะหนัก ตะกั่ว แคนเดเมียมและสังกะสี โดยเศษใบชาที่ใช้ทดลองจะต้องมีการบำบัดขึ้นต้นด้วยการต้มในน้ำร้อน 10 นาที และร่อนผ่านตะกรงขนาด 60-80 เมซ นำไปประกอบในสารละลายน้ำ HNO₃ 0.01 M เป็นเวลา 2 ชั่วโมง กรองและล้างด้วยน้ำกลั่น อบแห้งที่อุณหภูมิ 110 องศาเซลเซียส โดยความเข้มข้นเริ่มต้นที่ใช้เท่ากับ 0-1,000 มิโครกรัมต่อมิลลิลิตร โดยตัวอย่างจะถูกวนเป็นเวลา 4 ชั่วโมง นำไปกรองผ่านกระดาษกรอง และวัดปริมาณโลหะหนักที่เหลือด้วยเครื่องอบอุ่น มิกโอบ ขوبขัน ส่วนการศึกษาผลของค่า pH จะใช้สารละลายน้ำ HNO₃ ในการปรับ pH 1-3 และ 0.01 M. acetate buffer ในการปรับค่า pH 4-7 จากการทดลองพบว่าปริมาณของการดูดซับโลหะหนักขึ้นอยู่กับค่า pH ความเข้มข้นของโลหะหนัก ionic strength ความเข้มข้นของสารบวก ความสามารถในการดูดซับตะกั่ว แคนเดเมียมและสังกะสีเท่ากับ 0.38, 0.28 และ 0.18 มิลลิโนลต์ต่อกิรัม ส่วนการทดลองโดยใช้คอลัมน์ ซึ่งประสิทธิภาพในการดูดซับได้เกือบ 100% สำหรับตะกั่วที่ความเข้มข้น 100 มิลลิกรัมต่อลิตร ค่า pH เท่ากับ 6 โดยใช้ใบชา 1.8 กิรัม อัตราการเหลวเท่ากับ 25 มิลลิลิตรต่อนาที ซึ่งใบชา มีความสามารถในการดูดซับตะกั่วได้มากกว่าแคนเดเมียมและสังกะสีตามลำดับ

Okieimen & Onyenkpa (1989) ได้ศึกษาความสามารถของเปลือกเมล็ดเมล่อน (*Citrullus vulgaris*) 在การดูดซับไฮดรอนโลหะหนักแคนเดเมียม ทองแดง และตะกั่วโดยศึกษาผลของผลศาสตร์และสมดุลการดูดซับ ซึ่งทำการทดลองที่อุณหภูมิ 29 องศาเซลเซียส จากการทดลองพบว่าปริมาณไฮดรอนโลหะหนักที่ดูดซับได้ขึ้นอยู่กับชนิดของโลหะหนักแต่ละชนิดและประสิทธิภาพ การดูดซับสามารถทำให้เพิ่มขึ้นได้โดยการเปลี่ยนแปลง EDTA ของเปลือกเมล็ดเมล่อน ค่าการแพร์ กระจายของไฮดรอนโลหะระหว่าง Absorbent phase กับ Bulk phase ที่ปรากฏเปลี่ยนแปลงไปเล็กน้อย กับความเข้มข้นสมดุลของไฮดรอนโลหะยกเว้นไฮดรอนของตะกั่วซึ่งค่าการแพร์กระจายจะเปลี่ยนแปลงไป 5 เท่ากับความเข้มข้นสมดุล การเปรียบเทียบประสิทธิภาพการดูดซับด้วยสมการ Langmuir Isotherm พบว่าเปลือกเมล็ดเมล่อนสามารถดูดซับแคนเดเมียมและ



ทองแดงได้เท่ากับ 23.3 มิลลิกรัมแคเดเมียมต่อกิโลกรัม และ 11.4 มิลลิกรัมทองแดงต่อกิโลกรัม จากการศึกษาในคอลัมน์พบว่า เปลือกเมล็ดเมล่อนสามารถดูดซับไอออนตะกั่วได้ในปริมาณสูง และสามารถทำให้คืนสภาพดังเดิมได้โดยการนำบัดด้วยกรดเจือจาง

Orhan & Buyukgungor (1993) ศึกษาความสามารถของกาบใบชา (waste tea) เปลือกกาแฟ (exhausted coffee) และเปลือกถั่ว (walnut shell) ในการดูดซับโครเมียม(+6) แคเดเมียม และออกซิเมเนียม โดยวัสดุดูดซับจะถูกล้างน้ำและทิ้งให้แห้งที่อุณหภูมิห้อง อบที่อุณหภูมิ 105 องศาเซลเซียล จนน้ำหนักของตัวดูดซับคงที่ ปล่อยให้เย็นในโถดูดความชื้น ในการศึกษาประสิทธิภาพการดูดซับจะทำการทดลองแบบทีละเท (batch experiments) โดยใช้น้ำเสียสังเคราะห์ที่มีความเข้มข้นของโลหะหนัก 5 มิลลิกรัมต่อลิตร น้ำหนักตัวดูดซับหนัก 0.3 กรัม ปริมาตรน้ำเสีย 100 มิลลิลิตร เขย่าเป็นเวลา 2 ชั่วโมงที่อุณหภูมิห้อง แยกตัวดูดซับด้วยเครื่องเหวี่ยงแยกวิเคราะห์หน้าบานานาโลหะหนักที่เหลือด้วยเครื่อง อะตอนมิกแอบซอฟชันสเปกโตโพโนมิเตอร์ จากผลการศึกษาพบว่า เวลาที่เหมาะสมของการดูดซับเท่ากับ 120 นาที โลหะหนักที่ดูดซับได้ดีที่สุด คือออกซิเมเนียม 98% สำหรับใบชา 96% สำหรับเปลือกกาแฟ และเปลือกถั่ว รองลงมาคือ โครเมียม (+6) และแคเดเมียม ผลที่ได้จากการทดลองพบว่า การนำวัสดุเหลือทิ้งทางการเกษตรดูดซับโลหะหนักในน้ำเสียสามารถนำมาใช้ได้และมีประสิทธิภาพดี

Gand & Weixing (1998) ได้ศึกษาการใช้ก้านดอกทานตะวัน (sunflower stalks) ในการดูดซับโลหะหนักทองแดง แคเดเมียม สังกะสีและโครเมียม โดยศึกษาสภาวะสมดุลของการดูดซับและจำนวนพลศาสตร์ของการดูดซับ จากการศึกษาพบว่าความสามารถในการดูดซับของโลหะหนักทองแดง เท่ากับ 29.3 มิลลิกรัมทองแดงต่อกิโลกรัม สังกะสี 30.73 มิลลิกรัมสังกะสีต่อกิโลกรัม แคเดเมียม 42.18 มิลลิกรัมแคเดเมียมต่อกิโลกรัม และโครเมียม 25.07 มิลลิกรัมโครเมียมต่อกิโลกรัม โดยพบว่าขนาดของตัวดูดซับมีผลต่อการดูดซับไอออนของโลหะหนัก โดยที่ตัวดูดซับขนาดเล็กจะสามารถดูดซับไอออนของโลหะหนักได้ดีกว่าขนาดใหญ่ อุณหภูมิจะมีผลต่อประสิทธิภาพการดูดซับต่างกัน คือทองแดง สังกะสี และ แคเดเมียม ความสามารถในการดูดซับจะต่ำที่อุณหภูมิสูง ในขณะที่โครเมียมประสิทธิภาพในการดูดซับจะสูงเมื่ออุณหภูมิต่ำ และอัตราการดูดซับ ทองแดง แคเดเมียม และโครเมียมจะเกิดขึ้นอย่างรวดเร็วที่ 60 นาทีแรก ประมาณ 60-80%

Lee et al. (1998) ศึกษาความสามารถของกาบ显露เปลี่ยนจากการกำจัดโลหะหนัก ทองแดง แคเดเมียม และตะกั่ว ในน้ำเสียสังเคราะห์ โดยศึกษาเบรียบเทียบประสิทธิภาพของกาบ显露เปลี่ยนที่ไม่ได้ปรับสภาพ และกาบ显露เปลี่ยนที่ปรับสภาพด้วย Phosphorous Oxychloride กาบ显露เปลี่ยนที่นำมาศึกษาทดลอง ได้จากโรงงานผลิตน้ำ显露เปลี่ยนที่ปรับกอนด้วย ผิว เมล็ด และก้าน อบแห้งที่

อุณหภูมิ 60 องศาเซลเซียส ร่อนเพื่อคัดขนาด และล้างด้วย HCl 0.5 M. ล้างน้ำจนค่า pH คงที่ โดยจะทำการทดลองแบบทีละเท ใช้ปริมาตรน้ำเสียสังเคราะห์ 200 มิลลิลิตร ความเข้มข้นโลหะหนัก 10 มิลลิกรัมต่อลิตร น้ำหนักตัวดูดซับ 0.2 กรัม เขย่าเป็นเวลา 24 ชั่วโมง กรองและวิเคราะห์ หาปริมาณโลหะหนักที่เหลืออยู่ จากการทดลองพบว่า การดูดซับโลหะหนักเพิ่มขึ้นอย่างรวดเร็ว ใน 30 นาทีแรก และเวลาการดูดซับเข้าสู่สมดุลย์ เท่ากับ 1 ชั่วโมง หากแยกเป็นสามารถดูดซับทองแดงได้ 91.2% ที่ pH 5.9 ตะกั่ว 95.3% ที่ pH 5.7 และแคนเดเมียม 91% ที่ pH 7 ส่วนการศึกษาแบบคอลัมน์ โดยใช้คอลัมน์ที่มีขนาดเด่นผ่าศูนย์กลางขนาด 1.5 เมตรติเมตร บรรจุสารตัวอย่างสูง 30 เมตรติเมตร อัตราการไหล 5 มิลลิลิตรต่อนาที เก็บน้ำตัวอย่างทุก 30 นาที หากการศึกษาพบว่าความสามารถในการดูดซับโลหะหนักของภาคแยกเปลี่ยน ที่ไม่ได้ปรับสภาพเท่ากับ 7.5 มิลลิกรัมทองแดงต่อกิรัม 20.9 มิลลิกรัมตะกั่wtต่อกิรัมและ 2.89 มิลลิกรัมแคนเดเมียมต่อกิรัม ส่วนภาคแยกเป็นที่ปรับสภาพ เท่ากับ 29.9 มิลลิกรัมทองแดงต่อกิรัม 59.5 มิลลิกรัมตะกั่wtต่อกิรัมและ 17.8 มิลลิกรัมแคนเดเมียมต่อกิรัม สรุปได้ว่าภาคแยกเปลี่ยนที่ปรับสภาพด้วยขบวนการเคมี มีความสามารถในการดูดซับโลหะหนักเพิ่มขึ้น 3-4 เท่าเมื่อเทียบกับภาคแยกเปลี่ยนที่ไม่ได้ผ่านการปรับสภาพด้วยขบวนการเคมี

Ajmal et al. (2000) ศึกษาความสามารถของเปลือกส้ม (*Citrus reticulata*) ในการดูดซับโลหะหนักนิเกิล โดยทำการศึกษาถึงผลของค่า pH เริ่มต้นของสารละลายน (pH 2-10) ความเข้มข้นเริ่มต้นที่ 20-100 มิลลิกรัมต่อลิตร ระยะเวลาในการดูดซับระหว่าง 10-300 นาทีและการเปรียบเทียบการดูดซับไออกอนของทองแดง ตะกั่ว สังกะสี โครเมียม การเตรียมวัสดุดูดซับโดยการนำเปลือกส้มมาบดและล้างน้ำ นำไปอบที่อุณหภูมิ 100-105 องศาเซลเซียส เป็นเวลา 24 ชั่วโมง ร่อนให้ขนาดผ่านตะแกรงขนาด 150 เมช การศึกษาประสิทธิภาพดูดซับจะทำแบบทีละเท โดยใช้ปริมาตรน้ำเสียสังเคราะห์ 50 มิลลิลิตร น้ำหนักตัวดูดซับ 5 กรัม ปรับ pH ด้วย HCl และ NaOH เขย่าและกรองด้วยกระดาษกรอง วัดค่าความเข้มข้นโลหะหนักที่เหลืออยู่ด้วยเครื่องอะตอมมิกแยกชوبชั่น หากการศึกษาพบว่าค่า pH ที่เหมาะสมในการดูดซับนิเกิลของเปลือกส้มเท่ากับ 6 โดยเวลาการดูดซับเข้าสู่สมดุลคือ 2 ชั่วโมงและความเข้มข้นสูงสุด 50 มิลลิกรัมต่อลิตร โดยเปลือกส้มสามารถดูดซับนิเกิลได้สูงสุด 158.73 มิลลิกรัมนิเกิลต่อกิรัม จากสมการ Langmuir Isotherm ที่ อุณหภูมิ 50 องศาเซลเซียส รองลงมาคือทองแดง ตะกั่ว สังกะสี และโครเมียมตามลำดับ

Low et al. (2000) ได้ศึกษาความสามารถของภาคเบียร์ (spent grain) ในการดูดซับโลหะหนักแคนเดเมียมและตะกั่ว โดยทำการศึกษาถึงผลของค่า pH ระยะเวลาในการดูดซับ ความเข้มข้นเริ่มต้นของสารละลายน อุณหภูมิ โดยการนำวัสดุดูดซับล้างด้วยน้ำกลัน อบแห้งที่อุณหภูมิ

60 องศาเซลเซียส ร่อนคัดขนาดให้มีขนาด 1 มิลลิเมตร นำวัสดุดูดซับบำบัดด้วยโซเดียมไฮดรอไนต์ 0.5 M เป็นเวลา 4 ชั่วโมง ล้างน้ำแล้วดักค่าในตรารเจนจากน้ำล้าง ให้อยู่ที่ 5.83 โดยการวัดด้วยวิธีเคมีในโครงเจ้าห์ ซึ่งการทดลองจะทำแบบที่ละเท ความเข้มข้นของสารละลาย 50-450 มิลลิกรัมต่อลิตร ปริมาณวัสดุดูดซับ 0.1 กรัม ปริมาตรน้ำเสียสังเคราะห์ 20 มิลลิลิตร ปรับค่า pH ด้วย NaOH และ HCl 0.1 M เขย่าด้วยความเร็ว 150 รอบต่อนาที ที่อุณหภูมิห้อง ($28 \pm 2^\circ\text{C}$) และแยกวัสดุดูดซับด้วยเครื่องเหวี่ยงแยก วิเคราะห์โดยหนักด้วยเครื่องพานิชม่าสเปกโตโฟโตมิเตอร์ จากการทดลองพบว่าค่า pH ที่เหมาะสมสำหรับการดูดซับแคนดี้เมียมและตะกั่วเท่ากับ 4 โดยมีเวลาเข้าสู่สมดุลของการดูดซับ 120 นาที ตัวดูดซับสามารถลดปริมาณแคนดี้เมียมได้ 95.6% และตะกั่ว 77.8% ในสภาวะที่สารละลายแคนดี้เมียมและตะกั่วมีความเข้มข้น 50 มิลลิกรัมต่อลิตร การเปรียบเทียบประสิทธิภาพการดูดซับด้วยสมการ Langmuir Isotherm พบว่าตัวดูดซับสามารถดูดซับได้สูงสุดเท่ากับ 17.3 มิลลิกรัมแคนดี้เมียมต่อกิโล และ 35.5 มิลลิกรัมป्रอทต่อกิโล ผลของอุณหภูมิพบว่าเมื่ออุณหภูมิสูงขึ้น ปริมาณการดูดซับจะสูงขึ้นตามไปด้วย โดยสามารถดูดซับแคนดี้เมียมได้ถึง 80.9% และตะกั่ว 91.7% ที่อุณหภูมิของสารละลายเท่ากับ 55 องศาเซลเซียส

Senthikumaar et al. (2000) ศึกษาประสิทธิภาพของวัสดุดูดซับซึ่งเป็นของเสียจากอุตสาหกรรมน้ำผลไม้ ในการดูดซับโดยหนัก ปróท ตะกั่ว แคนดี้เมียม ทองแดง สังกะสี และนิเกิล โดยทำการศึกษาเปรียบเทียบ วัสดุดูดซับที่ไม่ผ่านการบำบัดกับวัสดุที่ผ่านการบำบัดด้วย phosphorous oxychloride และค่า pH เริ่มแรกที่เหมาะสม วัสดุดูดซับที่ใช้ในการทดลองได้แก่ ฟัมแอกเพลส สับปะรด อินทนิลัม อรุณ ซึ่งประกอบด้วยเปลือก เมล็ด ก้าน ประมาณร้อยละ 9 ของน้ำหนัก ที่เหลือส่วนใหญ่จะประกอบด้วยเส้นใย ลิกนิน การเตรียมวัสดุดูดซับ นำไปล้างด้วยน้ำกลั่นและอบที่อุณหภูมิ 60 องศาเซลเซียส 2 ชั่วโมง ร่อนผ่านตะกรงเพื่อคัดขนาดให้ได้ระหว่าง 0.15-0.25 มิลลิเมตร ล้างด้วย HCl 0.5 M และน้ำกลั่นจนค่า pH ในน้ำล้างคงที่บำบัดวัสดุดูดซับด้วย phosphorous oxychloride โดยการทดลองจะทำแบบที่ละเท ใช้ความเข้มข้นของโลหะหนัก 20 มิลลิกรัมต่อลิตร ปริมาตรน้ำเสียสังเคราะห์ 50 มิลลิลิตร น้ำหนักวัสดุดูดซับ 500 มิลลิกรัมแห้งปรับ pH ด้วย HCl และ NaOH 0.001 M เขย่าด้วยความเร็ว 120 รอบต่อนาที ที่อุณหภูมิห้องเป็นเวลา 6 ชั่วโมง แยกวัสดุดูดซับออกจากน้ำเสียด้วยเครื่องเหวี่ยงแยก 10,000 รอบต่อนาที เป็นเวลา 10 นาที วัดปริมาณโลหะหนักที่เหลือด้วยเครื่อง UV-VIS สเปกโตโฟโตมิเตอร์จากการทดลองพบว่าร้อยละของการดูดซับจะเกิดขึ้นตีที่สุดที่ pH เท่ากับ 4 และประสิทธิภาพของวัสดุดูดซับที่ผ่านการบำบัดจะสูงกว่าวัสดุดูดซับที่ไม่ผ่านการบำบัดคือ สามารถดูดซับทองแดงได้ 96.2% รองลงไปคือตะกั่ว 90.6% สังกะสี 87.9% แคนดี้เมียม 86.6% ปróท 85.5% และนิเกิล 85% สรุปได้ว่าของ

เสียจากอุดสานหรอมน้ำผลไม้สามารถนำมาเป็นวัสดุดูดซับโลหะหนักได้อย่างมีประสิทธิภาพ การนำบัดด้วย phosphorous oxychloride เป็นการเพิ่ม phosphate group ทำให้วัสดุดูดซับมีประสิทธิภาพเพิ่มขึ้นด้วย

Dakiky et al. (2002) ศึกษาการดูดซับโลหะหนักโดยเมี่ยม (+6) โดยใช้วัสดุดูดซับราคากูกได้แก่ ไม้มะกอก ชีลีอย สนเข็ม เปลือกอัลมอนด์ กระบอกเพชร และถ่านเมา โดยทำการศึกษาถึงประสิทธิภาพการดูดซับโลหะหนักโดยเมี่ยม ของวัสดุดูดซับชนิดต่าง ๆ ค่า pH เวลาสัมผัส ปริมาณวัสดุดูดซับ อัตราส่วนของไอออนโลหะหนักต่อวัสดุดูดซับ โดยวัสดุดูดซับที่นำมาศึกษามีขนาดความยาว 1 เซนติเมตรและมีขนาด 200 ไมครอน โดยการศึกษาเวลาสัมผัสจะเริ่มที่ 30-300 นาที ค่า pH 1-10 ความเข้มข้นโลหะหนัก 20-1000 มิลลิกรัมต่อลิตร ปริมาณวัสดุดูดซับ 2-24 กรัมต่อลิตร โดยจะทำการทดลองแบบที่ละเท ที่อุณหภูมิ 30 องศาเซลเซียส จากการทดลองพบว่าค่า pH ที่เหมาะสมในการดูดซับเท่ากับ 2 โดยเมื่อเวลาดูดซับเข้าสู่สมดุล 120 นาที ปริมาณตัวดูดซับเท่ากับ 16 กรัมต่อลิตร วัสดุดูดซับได้ดีที่สุดคือไม้ โดยสามารถดูดซับได้ 81.3 % การเปรียบเทียบประสิทธิภาพการดูดซับด้วยสมการ Langmuir Isotherm ได้ผลดังนี้ การดูดซับโดยเมี่ยมด้วยไม้เท่ากับ 41.15 มิลลิกรัมต่อกิโลกรัม มะกอก 33.4 มิลลิกรัมต่อกิโลกรัม ชีลีอย 15.823 มิลลิกรัมต่อกิโลกรัม สนเข็ม 21.50 มิลลิกรัมต่อกิโลกรัม เปลือกอัลมอนด์ 10.616 มิลลิกรัมต่อกิโลกรัม ถ่านเมา 6.78 มิลลิกรัมต่อกิโลกรัม และกระบอกเพชร 7.082 มิลลิกรัมต่อกิโลกรัม จึงสรุปได้ว่าไม่มีประสิทธิภาพดีที่สุด ในการดูดซับโลหะหนักโดยเมี่ยม ชีลีอยเป็นวัสดุที่มีอยู่มากมายและมีราคาถูก ทำให้เกิดขึ้นได้เบรียบทางด้านเศรษฐศาสตร์

Johnson et al. (2002) ได้ศึกษาความสามารถในการดูดซับทองแดงของเปลือกถั่วลิสง (peanut hull) โดยเปรียบเทียบกับเปลือกถั่วลิสง ที่ผ่านการอัดให้เป็นเม็ด (peanut hull pellets) โดยจะทำการศึกษาผลของการดูดซับขนาดของวัสดุดูดซับ ค่า pH ความสามารถ และประสิทธิภาพในการดูดซับ โดยวัสดุดูดซับจะถูกอบแห้งและร่อนคัดขนาดผ่านตะแกรงเบอร์ 25 และค้างบนตะแกรงเบอร์ 40 วัสดุดูดซับซึ่งเป็นเม็ดจะถูกอัดให้มีความหนาแน่น 640 กิโลกรัมต่อลูกบาศก์เมตร สมดุลของการดูดซับจะทำการทดลองแบบที่ละเท โดยใช้น้ำตัวอย่าง 50 มิลลิลิตร ความเข้มข้น 0-400 มิลลิกรัมต่อลิตร เขย่าที่ความเร็วรอบ 250 รอบต่อนาที 24 ชั่วโมง แยกวัสดุดูดซับด้วยกรวยกระดาษกรองขนาด 0.45 ไมครอน วัดค่าโลหะหนักที่เหลืออยู่ด้วยเครื่อง ICP-OES สำรวจการทดลองแบบต่อเนื่องจะใช้แบบคอลัมน์ขนาดเส้นผ่าศูนย์กลางภายใน 5.175 เซนติเมตร ความสูงของวัสดุดูดซับ 25 เซนติเมตร อัตราการไหล 11 มิลลิลิตรต่อนาที จากการศึกษาพบว่าเวลาเข้าสู่สมดุลการดูดซับเท่ากับ 40 นาที โดยเปลือกถั่วลิสงดูดซับได้ 78% เปลือกถั่วลิสงอัดเม็ด

ดูดซับได้ 77% ค่า pH ที่เหมาะสมอยู่ระหว่าง 6.5-7.5 การเปรียบเทียบความสามารถในการดูดซับ ด้วยสมการ Langmuir Isotherm พบว่าเปลือกถั่วและเปลือกถั่วอัดเม็ดดูดซับทองแดงได้เท่ากับ 9 มิลลิกรัมต่อกิโลกรัม และ 2 มิลลิกรัมต่อกิโลกรัมส่วนการทดลองแบบต่อเนื่องพบว่าค่า BreakThrough เท่ากับ 40 bed volume จึงสรุปได้ว่า เปลือกถั่วลิสงที่ผ่านการอัดเม็ดมีความสามารถในการดูดซับ ไอโอนทองแดงสูงกว่าเปลือกถั่วที่ไม่ได้ผ่านการอัดเม็ด การดูดซับอาจเกิดจากค่าปฏิไบโอดีต สารประกอบ Phenolic และโปรตีน ซึ่งมีหมู่ functional group ส่วนการดูดซับจะเกิดขึ้นบริเวณพื้นผิว และรูพรุนของวัสดุดูดซับ

Kadirvelu & Namasivayam (2003) ได้ทำการศึกษาความสามารถของถ่านกัมมันต์ที่ ผลิตจากวัสดุเหลือทิ้งทางการเกษตร ได้แก่ กากมะพร้าว (coconut coirpith) ใน การดูดซับโลหะ หนักแอดเมียม โดยทำการศึกษาถึงผลของการทดลองเวลาในการดูดซับ ความเข้มข้นของโลหะหนัก ปริมาณวัสดุดูดซับและค่า pH โดยทำการทดลองการดูดซับแบบทีละเท่าๆ อุณหภูมิ 30 องศา เชลเซียส ขนาดของวัสดุดูดซับเท่ากับ 250-500 ไมครอน จากการทดลองพบว่า เวลาเข้าสู่สมดุล การดูดซับเท่ากับ 60 นาที ปริมาณวัสดุดูดซับที่เหมาะสมเท่ากับ 70 มิลลิกรัมต่อลิตร โดยร้อยละ ของ การดูดซับจะเพิ่มขึ้นตามปริมาณวัสดุดูดซับ การศึกษาประสิทธิภาพการดูดซับด้วยสมการ Langmuir Isotherm พบว่าความสามารถดูดซับแอดเมียมได้ 93.4 มิลลิกรัมแอดเมียมต่อกิโลกรัม ที่ pH เริ่มต้นเท่ากับ 4 และการสกัดแอดเมียมด้วยกรดไฮdroคลอโริก สามารถสกัดแอดเมียมได้ 100% ที่ ความเข้มข้นของกรด 0.075 M จากผลการทดลองแสดงให้เห็นว่า กระบวนการในการดูดซับเป็นแบบ การแลกเปลี่ยนประจุ ไอโอนโลหะหนักซึ่งกากมะพร้าวเป็นวัสดุเหลือทิ้งทางการเกษตรสามารถ นำมาใช้ประโยชน์ในการบำบัดแอดเมียมจากน้ำเสียได้ เป็นผลให้ต้นทุนการบำบัดถูกกลง

Kim (2003) ศึกษาความสามารถเปลือกและกระดองปู (*Chinonecetes opilio*) ในการดูด ซับโลหะหนัก ตะกั่ว แอดเมียม และไฮdroเมียม โดยจะทำการศึกษาถึงผลของเวลาเข้าสู่สมดุลการดูด ซับโลหะองค์ประกอบเดียวและโลหะองค์ประกอบคู่ ประสิทธิภาพและความสามารถในการดูดซับ โดยการทดลองจะควบคุมค่า pH เท่ากับ 5 โดยใช้ความเข้มข้นโลหะหนักเท่ากับ 10 mM. สำหรับ โลหะองค์ประกอบเดียว และ 0.5 mM. สำหรับโลหะองค์ประกอบคู่ วัสดุดูดซับเป็นของเสียที่ได้ จากโรงงานแแกเน็อนปู โดยจะถูกนำมาต้มและล้างน้ำทิ้งให้แห้ง บดและร่อนผ่านตะกรังคัดขนาด ให้มีขนาด 20-40 เมช วัสดุดูดซับประกอบด้วยโปรตีน 29.19% เต้า 40.60% ของเหลว 1.35% ไฮเดรติน 26.65% โดยน้ำหนัก โดยการทดลองการดูดซับจะทำแบบทีละเท่าๆ ให้น้ำตัวอย่าง 250 มิลลิลิตร ปริมาณตัวดูดซับ 0.25 กรัม เท่าด้วยความเร็ว 150 รอบต่อนาที อุณหภูมิ 30 องศา เชลเซียส แยกวัสดุดูดซับด้วยเครื่องห weiying แยก วัดปริมาณโลหะหนักที่เหลือด้วยเครื่องอบต่อม

มิกแอนซ์อบชั้น จากการทดลองพบว่า โครงเมียม และตะกั่ว มีเวลาเข้าสู่สมดุลการดูดซับ 3 ชั่วโมง ส่วนแคนเดเมียมเข้าสู่สมดุลการดูดซับ 10 ชั่วโมง ความสามารถการดูดซับโครงเมียมเท่ากับ 0.49 มิลลิโมลต่อกรัม ประสิทธิภาพการดูดซับเท่ากับ 98% ความสามารถในการดูดซับตะกั่ว 0.47 มิลลิโมลต่อกรัม ประสิทธิภาพการดูดซับเท่ากับ 94% และความสามารถของการดูดซับแคนเดเมียม 3 ชั่วโมงเท่ากับ 0.3 มิลลิโมลต่อกรัม ประสิทธิภาพการดูดซับเท่ากับ 60% แต่การดูดซับจะเพิ่มขึ้น เป็น 0.48 มิลลิโมลต่อกรัม ประสิทธิภาพเท่ากับ 96% เวลา 10 ชั่วโมง ส่วนการทดลองกับโลหะองค์ประกอบคู่พบว่า ตะกั่วกับแคนเดเมียมเวลา 3 ชั่วโมง มีความสามารถดูดซับเท่ากับ 0.47 มิลลิโมลต่อกรัม ตะกั่วกับโครงเมียมเท่ากับ 0.14 มิลลิโมลต่อกรัม ส่วนแคนเดเมียมกับตะกั่วเท่ากับ 0.21 มิลลิโมลต่อกรัม แคนเดเมียมกับโครงเมียมเท่ากับ 0.09 มิลลิโมลต่อกรัม และโครงเมียมกับแคนเดเมียมเท่ากับ 0.29 มิลลิโมลต่อกรัม โครงเมียมกับตะกั่วเท่ากับ 0.19 มิลลิลิโมลต่อกรัม จากผลการทดลองสรุปได้ว่า ตะกั่วและโครงเมียม สามารถดูดซับได้ดีกว่าแคนเดเมียม ทั้งแบบโลหะองค์ประกอบเดี่ยวและองค์ประกอบคู่

Ajmal et al. (2003) ศึกษาความสามารถของเปลือกข้าวในการดูดซับแคนเดเมียม โดยศึกษาถึงผลของระยะเวลาในการดูดซับ ความเข้มข้นของโลหะหนัก อุณหภูมิ ปริมาณตัวดูดซับในสารละลาย โดยเปลือกข้าวที่ใช้ในการศึกษาทดลองนำมาจากโรงสีในชุมชน ร่อนคัดขนาดด้วยตะเกียงขนาด 50-60 เมช ล้างน้ำและอบแห้งที่อุณหภูมิ 60 องศาเซลเซียส เป็นเวลา 2 ชั่วโมง ทิ้งให้เย็นที่อุณหภูมิห้อง นำรังสิตดูดซับดังกล่าวมาปรับสภาพด้วยฟอสเฟต โดยใช้ตัวดูดซับ 5 กรัม แห้งใส่ใน 1.0 M K_2HPO_4 100 มิลลิลิตร ทิ้งไว้ 24 ชั่วโมง กรองและล้างน้ำอบที่อุณหภูมิ 70 องศาเซลเซียส 2 ชั่วโมง โดยจะทำการทดลองแบบทีละเท (batch experiments) จากการทดลองพบว่า เวลาที่ใช้ในการดูดซับแคนเดเมียมเข้าสู่สมดุลคือ 1 ชั่วโมง การดูดซับจะเพิ่มขึ้นจากร้อยละ 18 ถึงร้อยละ 99 เมื่อปริมาณตัวดูดซับเพิ่มขึ้นจาก 0.5 กรัมถึง 3 กรัม แต่ในขณะเดียวกันความหนาแน่นการดูดซับแคนเดเมียมจะลดลงจาก 90 มิลลิกรัมแคนเดเมียมต่อกรัมเป็น 16.5 มิลลิกรัมแคนเดเมียมต่อกรัม ความเข้มข้นเริ่มแรกจะอยู่ที่ 50 มิลลิกรัมต่อกรัม จากนั้นการดูดซับค่อนข้างคงที่ และเมื่ออุณหภูมิเริ่มสูงขึ้น ประสิทธิภาพการดูดซับแคนเดเมียมของเปลือกข้าวจะเพิ่มขึ้นตามไปด้วย

Gupta et al. (2003) ศึกษาการใช้ถ่านจากชานอ้อยที่เหลือจากอุตสาหกรรมน้ำตาล ดูดซับแคนเดเมียมและนิเกิล เถ้าโดยจากชานอ้อยจะถูกนำมาบำบัดโดยไฮโดรเจนเปอร์ออกไซด์ที่อุณหภูมิ 60 องศาเซลเซียส 2 ชั่วโมง เพื่อกำจัดสารอินทรีย์ จากนั้นล้างด้วยน้ำที่ปราศจากไออกอน อบแห้งที่อุณหภูมิ 100 องศาเซลเซียส ร่อนที่คัดขนาดและเก็บในโถดูด ความชื้น โดยจะทำการทดลองแบบทีละเท (batch experiments) เพื่อศึกษาระยะเวลาภักระหว่าง 0-150 นาที ความเข้มข้นของ

โลหะหนัง 2-20 มิลลิกรัมต่อลิตร ค่า pH 2-9 ปริมาณตัวดูดซับเท่ากับ 2-20 กรัมต่อลิตร ขนาดของตัวดูดซับเท่ากับ 100-150, 150-200 และ 200-250 ไมครอน โดยจะทำการทดลองที่อุณหภูมิ 30, 40, 50 องศาเซลเซียส จากการทดลองพบว่าระหว่าง เวลา กักพักที่เหมาะสมสมอยู่ระหว่าง 60-80 นาที ความเข้มข้นของแอดเมริย์มเท่ากับ 14 มิลลิกรัมต่อลิตร และ 12 มิลลิกรัมต่อลิตร สำหรับนิเกิล ค่า pH อยู่ระหว่าง 6.0-6.5 ปริมาณตัวดูดซับที่เหมาะสม สมเท่ากับ 10 กรัมต่อลิตร ความสามารถในการดูดซับซึ่งวิเคราะห์ด้วย Freundlich Isotherm พบว่าชี้เก้าออยจากขนาดอ้อยมีความสามารถในการดูดซับแอดเมริย์มได้ 12.5 มิลลิกรัมแอดเมริย์มต่อกิโล และนิเกิลเท่ากับ 14.0 มิลลิกรัมนิเกิลต่อกิโล และยังพบอีกว่าประสิทธิภาพการดูดซับจะดีเมื่ออุณหภูมิสูง และตัวดูดซับที่มีขนาดเล็ก จะดูดซับได้ดีกว่าขนาดใหญ่ โดยวัดดูดซับขนาด 100-150 ไมครอนสามารถดูดซับแอดเมริย์มได้ถึง 99%

จันทร์นา สงวนรุ่งเรือง และคณะ (2540) ได้ศึกษาการนำเก้าออยซึ่งเป็นสารดูดซับราคาถูก มาใช้ในการกำจัดโลหะหนัง 3 ชนิด ได้แก่ นิเกิล แอดเมริย์ม และ ตะกั่ว โดยหาสภาวะที่เหมาะสมของการกำจัดโลหะหนังที่มีความเข้มข้นต่างกัน 3 ระดับ เพื่อระดับความเข้มข้นนี้จะทำการปรับค่า พีเอช ให้เปลี่ยนแปลงตั้งแต่ 3 ถึง 10 และนำชี้เก้าออยที่ดูดซับโลหะหนังมาศึกษาความเสถียร จากการศึกษาลักษณะทางกายภาพของเก้าออย พบว่า อนุภาคเก้าออยมีลักษณะกลม มีขนาดอนุภาคส่วนใหญ่อยู่ระหว่าง 10-100 ไมครอน และพบว่าประสิทธิภาพการกำจัดของโลหะต่างๆ จะขึ้นอยู่กับ พีเอช เเวลา และความเข้มข้นเริ่มต้น ดังนี้ ค่าพีเอชที่เหมาะสมสำหรับการกำจัดนิเกิลคือ 10 เมื่อความเข้มข้นเริ่มต้นเท่ากับ 40 มิลลิกรัมต่อลิตร ที่เวลา 10 นาที โดยประสิทธิภาพการกำจัดเท่ากับ 99.52% สำหรับการกำจัดแอดเมริย์ม ค่าพีเอชที่เหมาะสมสำหรับการกำจัดคือ 10 ความเข้มข้นเริ่มต้นเท่ากับ 10 มิลลิกรัมต่อลิตร ที่เวลา 30 นาที โดยประสิทธิภาพการกำจัดเท่ากับ 99.12% สำหรับการกำจัดตะกั่ว ค่าพีเอชที่เหมาะสมสำหรับการกำจัดตะกั่วคือ 10 เมื่อความเข้มข้นเริ่มต้นเท่ากับ 40 มิลลิกรัมต่อลิตร ที่เวลา 5 นาที ประสิทธิภาพการกำจัดเท่ากับ 99.55%

วิโรจน์ บุญอ่อนวิทยา และธีรวิทย์ ทับทอง (2540) ได้ศึกษาการดูดซับโลหะหนังโดยวัสดุชีวมวลประเภท Activated Sludge และกากรชีวมวลเหลือทิ้ง เช่น *Aspergillus*, *Streptomyces*, ยีสต์ จากโรงงานผลิตอาหาร วัสดุชีวมวลถูกเตรียมโดยการนำมาล้างด้วยน้ำกัลล์ 2 ครั้ง ปรับพีเอชให้ได้ประมาณ 7 อบที่อุณหภูมิ 105 องศาเซลเซียส แล้วจึงบดและแยกขนาดอนุภาคให้มีขนาดต่ำกว่า 425 ไมครอน วัสดุชีวมวลที่ได้ 1 กรัม นำมาใช้ในการดูดซับโลหะหนังจากสารละลายปริมาณ 100 มิลลิลิตร ที่มีโลหะหนังผสมอยู่ที่ความเข้มข้น 25, 50, 100 และ 250 มิลลิกรัมต่อลิตร ตามลำดับ จากนั้นจึงนำสารละลายที่มีวัสดุชีวมวลผสมอยู่ไปเขย่าด้วยเครื่องเขย่า(Shaker) ที่ความเร็ว

200 รอบ/นาที ตัวอย่างสารละลายน้ำที่เวลา 0, 2, 5, 10, 15 และ 30 นาที จากนั้นจึงนำไปกรองและนำสารละลายน้ำใส่ไปวัดปริมาณโลหะหนักโดยเครื่อง AAS ผลการทดลองสรุปได้ว่า Activated Sludge จากโรงงาน N สามารถดูดซับโลหะแอดเมียร์ ทองแดง นิกเกิล และสังกะสี ปริมาณสูงสุด 37, 40, 16 และ 21 มิลลิกรัมต่อกิโลกรัม ตามลำดับ ส่วนตะกั่ว Activated Sludge จากโรงงาน A สามารถดูดซับได้ 106 มิลลิกรัมต่อกิโลกรัม

วรรณี ตันกิติยานนท์ และจันทนา พยุงวงศ์ (2540) ได้ศึกษาการทำจัดโลหะหนัก สังกะสี นิกเกิล ตะกั่ว และแอดเมียร์ ในน้ำเสียโดยวัดดูชีวนมวลจากโรงงานผลิตอาหารด้วยวิธีการดูดซับ นอกจากระบบดูดซับแล้ว สามารถดูดซับสารโลหะหนักในน้ำเสียโดยวัดดูชีวนมวล จากการทดลองพบว่าวัสดุชีวนมวลที่มีลักษณะเป็นผงมีความสามารถในการทำจัดโลหะ ตามลำดับดังนี้ คือ สังกะสี > ตะกั่ว > นิกเกิล > แอดเมียร์ โดยสามารถดูดซับสังกะสีได้สูงถึง 20.24 มิลลิกรัมสังกะสีต่อกิโลกรัมของวัสดุชีวนมวล และสำหรับวัสดุชีวนมวลแบบเป็นเม็ดมีความสามารถในการดูดซับโลหะต่าง ๆ ตามลำดับดังนี้คือ ตะกั่ว > สังกะสี > นิกเกิล > แอดเมียร์ โดยดูดซับตะกั่วได้สูงถึง 16.21 มิลลิกรัม ตะกั่วต่อกรัมของวัสดุชีวนมวล นอกจากนี้ยังพบว่าวัสดุชีวนมวลแบบเป็นเม็ดขนาดแตกต่างกันมีความสามารถในการดูดซับโลหะหนักไม่เท่ากัน โดยพบว่าวัสดุชีวนมวลแบบเป็นเม็ดซึ่งมีขนาดเล็กสามารถดูดซับโลหะหนัก ได้ดีกว่าขนาดใหญ่และจากการศึกษาการนำกลับมาใช้ใหม่ของวัสดุชีวนมวลแบบเป็นเม็ดโดยการสกัดด้วยกรดไฮดรคลอริกความเข้มข้น 0.6 N. จะเห็นได้ว่าหลังจากที่วัสดุชีวนมวลถูกสกัดแล้วสามารถดูดซับโลหะหนักได้เช่นเดิม โดยมีประสิทธิภาพการสกัดสูงถึง 99%

รัตนนา มหาชัย (2542) ได้ศึกษาการทำจัดโลหะหนัก แอดเมียร์ โครเมียม ทองแดง ตะกั่ว แมงกานีส นิกเกิล และสังกะสี ด้วยวัสดุธรรมชาติชนิดต่าง ๆ ที่หาง่ายและราคาถูกดังนี้ แกลบเพา ถ่าน ถ่านกัมมันต์ ชี้้ເຟ້າ คาໂລສິນ ເບນໂທໄນ໌ຕີການມະພວກ ຮັງໃໝ່ ເຢ້ອໄນໄຟ່ ແລະ ໄຍ້ຂ້າວໂພດ ຈາກກາරศึกษาพบว่าโลหะตะกั่วถูกดูดซับได้มากที่สุด ในวัสดุเกือบทุกชนิด เมื่อแยกกลุ่มปริมาณการดูดซับเป็นร้อยละ(กรัม/กรัม) (ก) ตะกั่วอยู่ในช่วง 30-70% (ข) ทองแดง แอดเมียร์ สังกะสี อยู่ในช่วง 2-10% และ (ค) นิกเกิล โครเมียม แมงกานีส น้อยกว่า 1% และ เปรียบเทียบความสามารถในการดูดซับโลหะของวัสดุเรียงลำดับมากไปหน้าอยู่ได้ดังนี้ ชี้້ເຟ້າ ถ่านกัมมันต์ ເບນໂທໄນ໌ ສຸວນຄ່ານ แกลบเพา ເຢ້ອໄນໄຟ່ ການມະພວກ ແລະ ໄຍ້ຮັງໃໝ່ ມีความสามารถในการดูดซับโลหะใกล้เคียงกัน เมื่อศึกษาวิธีการทำจัดโลหะหนักที่มีพิษทั้ง 7 ตัวผสมกันพบว่าวิธีการแบบต่อเนื่องมีประสิทธิภาพในการกำจัดได้ดีกว่าวิธีการแบบไม่ต่อเนื่องประมาณ 5 เท่าแต่เมื่อนำทั้งสองวิธีมาทำร่วมกันโดยใช้วัสดุชี้້ເຟ້າได้ผลเหมือนกันที่สุด

วัลภา อารชีวนิรุสุทธิ และคณะ (2543) ทำการศึกษาพัฒนาเม็ดดูดซึมมวลจากกากระกอนเร่งระบบบำบัดน้ำเสียจากโรงงานผลิตภัณฑ์อาหารประเท่านมของบริษัทเนสเล่ (ประเทศไทย) จำกัด ให้มีประสิทธิภาพในการดูดซับโลหะหนักให้ดีขึ้น โดยการปรับปรุงคุณภาพด้วยสารเคมีและวิธีการแยกต่างๆ เพื่อจะทำให้มีประสิทธิภาพในการดูดซับโลหะหนัก พบว่าการใช้ไฮเดรย์ไซด์ออกไซด์ ความเข้มข้น 0.75 M. อุณหภูมิ 80 องศาเซลเซียส เพิ่มประสิทธิภาพการดูดซับโลหะหนักได้ดีที่สุด โดยเพิ่มค่าการดูดซับทั้ง 5 โลหะหนัก คือ เพิ่มค่าการดูดซับแคลเดเมียม นิกเกิล ตะกั่ว ฟังกัสสี และทองแดงขึ้น 18.15%, 65.67%, 9.76%, 32.56% และ 20.09% ตามลำดับ

บุญรัตน์ ปรมีศานภารณ์ (2544) ได้ศึกษาความสามารถในการดูดซับไฮโอดอนแคลเดเมียมของเปลือกไข่ 2 ชนิด คือ เปลือกไข่ธรรมชาติ และเปลือกไข่ปลอดโปรตีน โดยทำการศึกษา พฤติกรรมการดูดซับของเปลือกไข่แบบโดยแบ่งเป็น 2 ภาระทดลองคือ การศึกษาการดูดซับสภาวะสมดุล ด้วยเปลือกไข่ขนาด 20-40, 40-60 และ 60-80 เมซ และศึกษาจลนพลศาสตร์ของการดูดซับ พบว่า ณ สภาวะสมดุลย์ที่ 120 นาที เปลือกไข่ธรรมชาติ และเปลือกไข่ปลอดโปรตีนขนาด 60-80 เมซ มีค่าปริมาณโลหะหนักแคลเดเมียมที่ถูกดูดซับค่ากว่าเปลือกไข่ (q_{max}) มากที่สุดเท่ากับ 1.6028 และ 1.3170 มิลลิโมลต่อกรัมของเปลือกไข่ ตามลำดับ ตามสมการ Langmuir Isotherm โดยเปลือกไข่ขนาดเล็กดูดซับแคลเดเมียมได้ดีกว่าเปลือกไข่ขนาดใหญ่ และการดูดซับของเปลือกไข่ทั้งสองชนิดเกิดจากการแลกเปลี่ยนไฮโอดอน แต่เปลือกไข่ธรรมชาติอาจมีเยื่อโปรดีนในเปลือกไข่ที่ประกอบด้วยหมู่คาร์บอนออกซิล หมู่เอมีน และกลุ่มชัลเฟตของโปรดีน ร่วมดับโลหะหนักแคลเดเมียม จึงทำให้เปลือกไข่ธรรมชาติดูดซับแคลเดเมียมได้มากกว่าเปลือกไข่ปลอดโปรตีน สำหรับจลนพลศาสตร์ของการดูดซับ พบว่า การดูดซับแคลเดเมียมของเปลือกไข่ทั้ง 2 ชนิด เป็นปฏิกิริยาอันดับ 1 มีขั้นกำหนดอัตราเร็วของการดูดซับอยู่ในขั้นการแพรวร้ายในอนุภาค ตั้งแต่เวลา 30-90 นาที โดยอัตราเร็วการแพร์แคลเดเมียมผ่านขั้นฟิล์มและภายในอนุภาคเปลือกไข่จะแปรผันตรงกับความเข้มข้น เริ่มต้นของสารละลายแคลเดเมียมและอุณหภูมิ และพบว่าการละลายของเปลือกไข่ ทำให้ค่า พีเอชของสารละลายสูงขึ้น และทำให้สารละลายมีความเป็นบัฟเฟอร์มากขึ้น จึงช่วยให้การดูดซับแคลเดเมียมมีประสิทธิภาพดีขึ้นด้วย

กฤษณ์ เทียรุ่มประสิทธิ์ และจันทร์ฉาย อึ้งอุดรภักดี (2545) ได้ศึกษาประสิทธิภาพในการใช้หูปูตากะเพราฟางข้าวที่ปรับสภาพแล้วกำจัดตะกั่วในน้ำเสียจากโรงงานแบตเตอรี่ โดยระบบการกรองแบบคอลัมน์ โดยทำการศึกษาอัตราการไหลของน้ำเสีย ความสูงของชั้นสารกรองและความเข้มข้นเริ่มต้นของตะกั่วในน้ำเสีย ผลการศึกษาได้แสดงให้เห็นว่า หูปูตากะเพราฟางข้าวมีประสิทธิภาพในการ

กำจัดตะกั่วได้กว่าและฟังข้าวและสามารถนำมาใช้กำจัดตะกั่วในน้ำเสียจากโรงงานเบตเตอร์มากกว่า 98%

กฤษณ์ เที่ยรมีประสิทธิ และดวงกมล พรมสุวรรณ (2545) ได้ศึกษาประสิทธิภาพในการกำจัดโครเมียมและนิกелиในน้ำเสียโดยใช้สีน้ำเงินไบพาล์มปรับสภาพ โดยทำการศึกษาถึงอัตราการไหลของน้ำเสีย ความเข้มข้นของโครเมียมและนิกели และความสูงของชั้นดูดซึบ จากการศึกษาพบว่า เมื่ออัตราการไหลและ ความเข้มข้นของโครเมียมและนิกелиเพิ่มขึ้น ประสิทธิภาพการกำจัดโครเมียมและนิกелиจะลดลงในขณะที่เมื่อความสูงของชั้นดูดซึบเพิ่มขึ้น ประสิทธิภาพการกำจัดโครเมียมและนิกелиจะเพิ่มขึ้น และยังพบอีกว่า ในชุดการทดลองที่ใช้ความเข้มข้นของโครเมียม: นิกели 0.5 : 5 มิลลิกรัมต่อลิตร อัตราการไหล 5 มิลลิลิตร/นาที และบรรจุสีน้ำเงินไบพาล์ม 60 ช.m. มีประสิทธิภาพในการกำจัดโครเมียมและนิกелиที่สุด คือใน 4 ช.m. แรก ประสิทธิภาพในการกำจัดโครเมียมและนิกелиเท่ากัน 47.34% และ 100% เมื่อเวลาผ่านไป 24 ช.m. มีค่าเป็น 21.45% และ 97.57% ตามลำดับ น้ำเสียที่ผ่านคอลัมน์แล้วมีโครเมียม 0.29 มิลลิกรัมต่อลิตร และนิกели 0.11 มิลลิกรัมต่อลิตร ซึ่งมีค่าเกินมาตรฐานน้ำทึบที่โรงงานอุตสาหกรรมกำหนดให้มีโครเมียม (VI) ไม่เกิน 0.25 มิลลิกรัมต่อลิตร และนิกелиไม่เกิน 1.0 มิลลิกรัมต่อลิตร ดังนั้นในการกำจัดโครเมียม และนิกелиในน้ำเสียโดยวิธีนี้ ควรเลือกใช้น้ำเสียที่ผ่านกระบวนการบำบัดขั้นต้นมาแล้ว

เพ็ชรพร เข้าว กิจเจริญ และ นิธิรัชต์ สงวนเดือน (2546) ได้ศึกษาการกำจัดทองแดงโดยใช้เรซินแลกเปลี่ยนไอออนที่ทำการเปลี่ยนถัวเหลืองชนิดไม่ปรับสภาพ จากการทดลองพบว่ามีแนวโน้มสามารถนำไปใช้ทดลองเรซินสังเคราะห์ในการกำจัดทองแดงได้ โดยมีประสิทธิภาพในการกำจัดทองแดงสูงที่สุดที่ความเข้มข้นเริ่มต้น 5 มิลลิกรัมต่อลิตร เท่ากับ 97.98% และ 88.90% ตามลำดับ และเมื่อความเข้มข้นเริ่มต้นเพิ่มขึ้นประสิทธิภาพในการกำจัดทองแดงลดลง เรซินแลกเปลี่ยนไอออนที่ทำการเปลี่ยนถัวเหลืองชนิดไม่ปรับสภาพ และเรซินแลกเปลี่ยนไอออนที่ทำการก้านดอกทานตะวันชนิดไม่ปรับสภาพมีข้อดีความสามารถในการกำจัดทองแดงเท่ากับ 0.89 และ 1.05 meq/g. ตามลำดับ

เพ็ชรพร เข้าว กิจเจริญ และชัยภพ องอาจ (2546) ได้ทำการศึกษาเบรริยนเทียนประสิทธิภาพในการกำจัดโลหะหนักทองแดงโดยใช้เรซินแลกเปลี่ยนไอออนที่เตรียมจากวัสดุเหลือทิ้งทางการเกษตรได้แก่ ต้นมันสำปะหลัง ในสับปะรด และกากมะพร้าว ตัวแปรที่ศึกษาได้แก่ กระบวนการปรับสภาพทางเคมี และความเข้มข้นของทองแดงในน้ำเสียสังเคราะห์ โดยขบวนการปรับสภาพทางเคมี 3 ชนิด คือ ชนิดที่ปรับสภาพด้วย 1 N. กรดไฮโดรคลอลิก ชนิดที่ปรับสภาพด้วย 5% ฟอร์มัลดีไฮด์ และชนิดที่ปรับสภาพด้วย 37% ฟอร์มัลดีไฮด์ นอกจากนี้ได้ทำการเบรริยน

เทียบกับชนิดที่ไม่ได้ปรับสภาพ ด้วยความเข้มข้นของโลหะหนักเท่ากับ 5, 10, 20 และ 50 มิลลิกรัมต่อลิตร ผลการศึกษาพบว่าเรซินแลกเปลี่ยนไอโอนที่เตรียมจากการมะพร้าวน้ำอ่อนที่ไม่ได้ปรับสภาพ มีประสิทธิภาพในการกำจัดทองแดงสูงกว่าเรซินที่เตรียมจากต้นมันสำปะหลัง และใบสับปะรด โดยสามารถกำจัดทองแดงได้สูงถึง 97.7% ตามลำดับ ที่ความเข้มข้นของทองแดงเท่ากับ 5 มิลลิกรัมต่อลิตร นอกจากนี้ยังพบว่าความสามารถในการกำจัดทองแดงจะลดลงเมื่อความเข้มข้นของ ทองแดงเพิ่มขึ้น โดยเรซินแลกเปลี่ยนไอโอนที่เตรียมจากการมะพร้าวน้ำอ่อนที่ไม่ได้ปรับสภาพมีศักยภาพในการประยุกต์ใช้ในการกำจัดทองแดงในน้ำเสียได้

ดวงรัตน์ อินทร และคณะ (2547) ได้ทำการศึกษาการกำจัดโลหะหนักprotox แคดเมียม และตะกั่ว โดยใช้สาหร่าย *Nostoc paludosum* และ *Phormidium angustissimum* โดยทำการคัดเลือกสาหร่ายที่สามารถกำจัดโลหะหนักprotox แคดเมียม และตะกั่ว ในสารละลายน้ำ 1 มิลลิกรัมต่อลิตร ที่สภาวะพีเอช 7 จากสาหร่าย 43 ชนิด ผลการศึกษาพบว่า สาหร่ายหลายชนิดมี ความสามารถในการกำจัดแคดเมียม และตะกั่วได้สูง เช่นสาหร่ายสีเขียว *Chlorella vulgaris* var. *vulgaris* มีค่าการกำจัดprotox แคดเมียม และตะกั่วได้สูง เช่นสาหร่ายสีเขียวแกมน้ำเงิน *Nostoc paludosum* และ *Phormidium angustissimum* สามารถกำจัดแคดเมียมได้ 92% และ 81% กำจัดตะกั่วได้ 92% และ 77% ตามลำดับในการศึกษาได้เลือก *Nostoc paludosum* และ *Phormidium angustissimum* เพื่อทำการศึกษาเพาะสานารถกำจัดโลหะหนักได้สูง มือตราชารา เจริญสูง และสามารถแยกออกจากระบบหลังจากการกำจัดโลหะหนักได้ง่าย ชี้แจงการกำจัดโลหะหนักเข้าสู่สมดุลภายในเวลา 20 นาที พบร้า *Nostoc paludosum* สามารถในการกำจัดแคดเมียม และตะกั่วได้สูงสุดที่พีเอช 6.5 และ 4 ส่วน *Phormidium angustissimum* ที่พีเอช 6.5 และ 4.5 ตามลำดับ และศึกษาการเพิ่มประสิทธิภาพการดูดซับโดยปรับสภาพเซลล์ด้วยหลาวยิธิ พบร้า การปรับสภาพเซลล์ด้วยด่าง(NaOH) ทำให้ประสิทธิภาพในการกำจัดแคดเมียม และตะกั่วสูงขึ้นและ เข้าสู่สมดุลได้เร็วขึ้นภายในเวลา 10 นาที สำรวจการศึกษาการดูดซับในสภาวะน้ำกรดด่าง พบร้า ในสารละลายน้ำที่มี Ca^{2+} และ Mg^{2+} สาหร่ายทั้ง 2 ชนิดสามารถดูดซับแคดเมียม และตะกั่วได้เพิ่มขึ้น และจากการศึกษาการดูดซับโดย Langmuir isotherm พบร้า ค่าการดูดซับสูงสุดของสาหร่าย *Nostoc paludosum* เท่ากับ 101.01 มิลลิกรัมแคดเมียมต่อกิโล และ 166.67 มิลลิกรัมตะกั่wt กิโล สำรวจ ส่วน *Phormidium angustissimum* เท่ากับ 116.28 มิลลิกรัมแคดเมียมต่อกิโล และ 93.46 มิลลิกรัมตะกั่wt กิโล และเมื่อปรับสภาพเซลล์ด้วยด่างพบว่า ค่าการดูดซับสูงสุดเพิ่มขึ้น